



Implementação e avaliação da cifra de fluxo Forro14 em hardware programável Tofino usando a linguagem P4



**Rodrigo Pierini, Caio Teixeira, Christian
Rothenberg, Marco Henriques**



Realização



Apoio



ERICSSON





Motivação

Motivação

- Novos paradigmas de redes de computadores

Motivação

- Novos paradigmas de redes de computadores
 - *Software-Defined Networking (SDN)*;

Motivação

- Novos paradigmas de redes de computadores
 - *Software-Defined Networking* (SDN);
 - *Programmable Dataplane* (PDP);

Motivação

- Novos paradigmas de redes de computadores
 - *Software-Defined Networking* (SDN);
 - *Programmable Dataplane* (PDP);
 - *In-Network Computing* (INC);

Motivação

A rede deixa de ser mera transmissora!

- Novos paradigmas de redes de computadores
 - *Software-Defined Networking* (SDN);
 - *Programmable Dataplane* (PDP);
 - *In-Network Computing* (INC);

Motivação

A rede deixa de ser mera transmissora!

- Novos paradigmas de redes de computadores
 - *Software-Defined Networking* (SDN);
 - *Programmable Dataplane* (PDP);
 - *In-Network Computing* (INC);

Como implementar criptografia nesse contexto?



Motivação

- Algoritmos de criptografia implementados
In-Network:

Motivação

- Algoritmos de criptografia implementados

In-Network:

- AES [Chen, 2020];



AES-256: ~7Gbps de vazão máxima

Motivação

- Algoritmos de criptografia implementados

In-Network:

- AES [Chen, 2020];
- ChaCha20 [Yoshinaka *et al*, 2022].

AES-256: ~7Gbps de vazão máxima

ChaCha20: ~14Gbps de vazão máxima†

Motivação

Há alternativas possivelmente mais eficientes?

- Algoritmos de criptografia implementados

In-Network:

- AES [Chen, 2020];
- ChaCha20 [Yoshinaka *et al*, 2022].

Motivação

- Algoritmo de cifra de fluxo recentemente proposto: Forro14 [Coutinho *et al*, 2023]

Motivação

- Algoritmo de cifra de fluxo recentemente proposto: Forro14 [Coutinho *et al*, 2023]
 - Menos rodadas que o ChaCha20 com o mesmo nível de segurança;

Motivação

- Algoritmo de cifra de fluxo recentemente proposto: Forro14 [Coutinho *et al*, 2023]
 - Menos rodadas que o ChaCha20 com o mesmo nível de segurança;
 - Melhor desempenho em cenários sem parallelização de processamento.

Pergunta de pesquisa

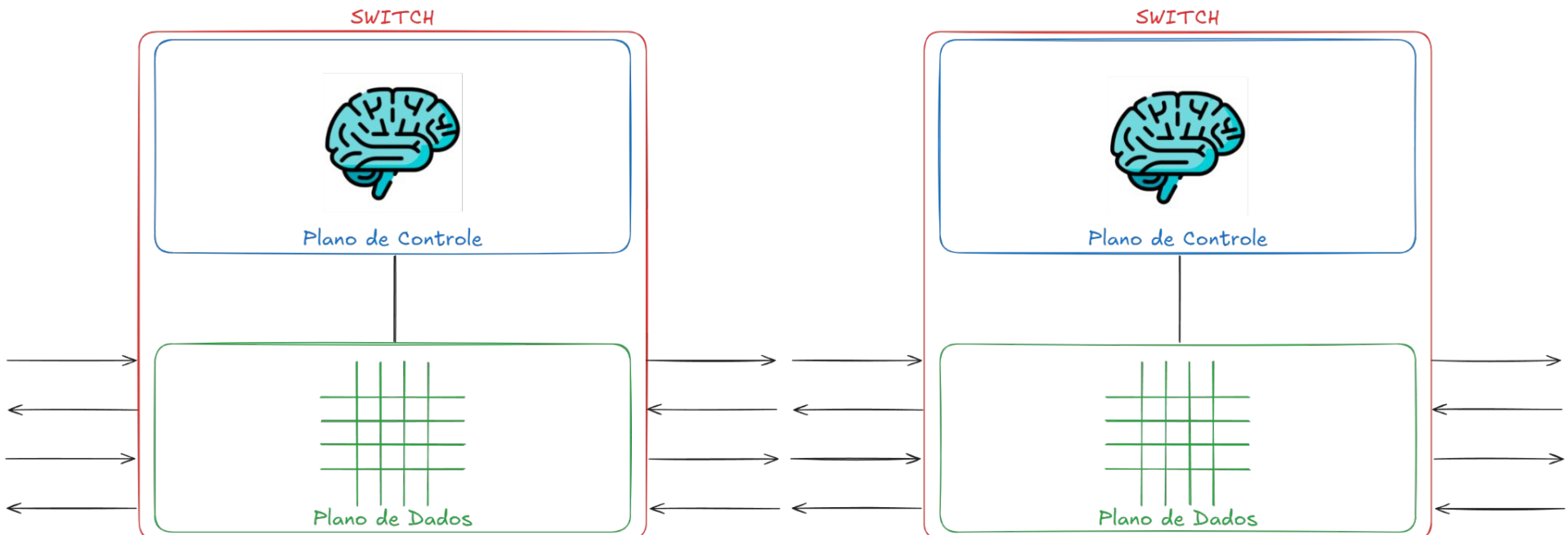
“No contexto de redes programáveis, a cifra de fluxo Forro14 é uma alternativa mais eficiente que a cifra ChaCha20 em uso de recursos e em vazão de dados?”



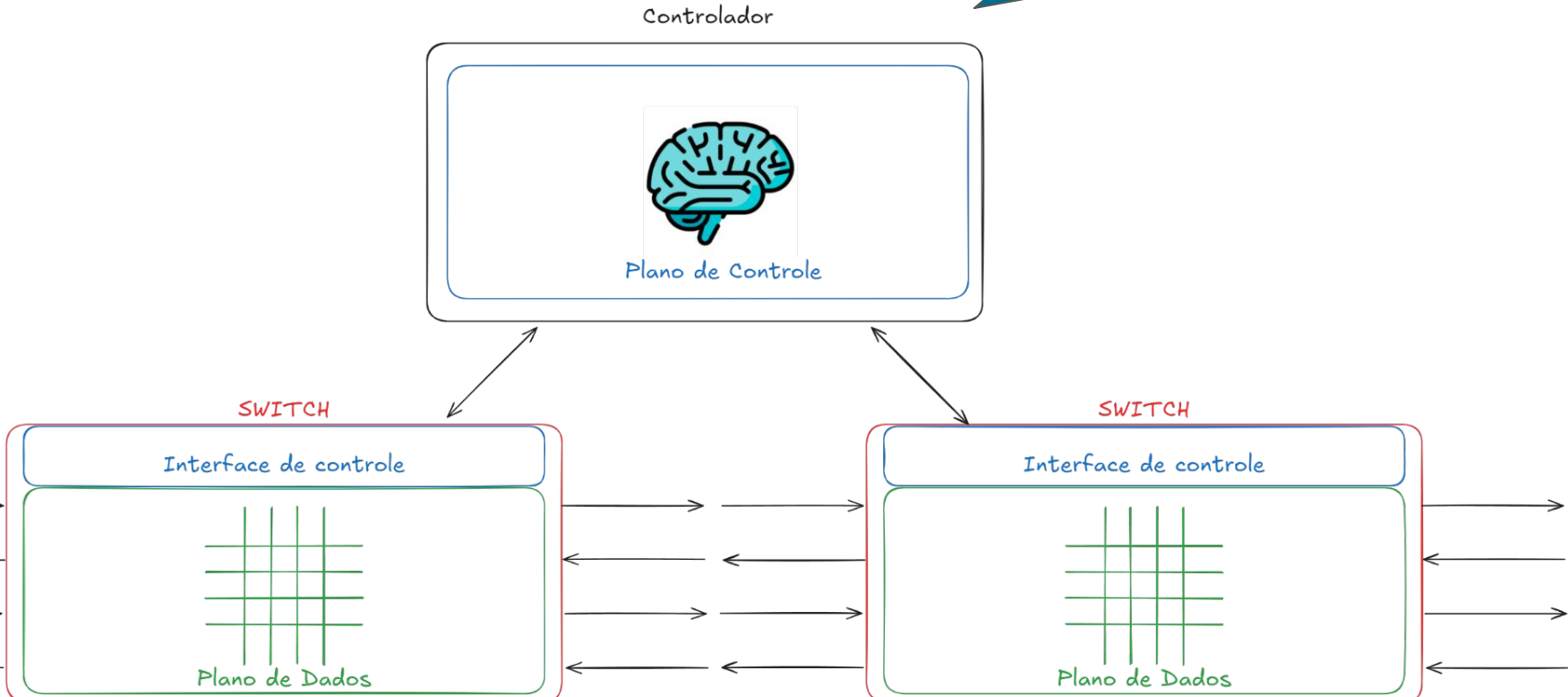
Fundamentos: Princípios de Software-Defined Networking

Fundamentos: SDN

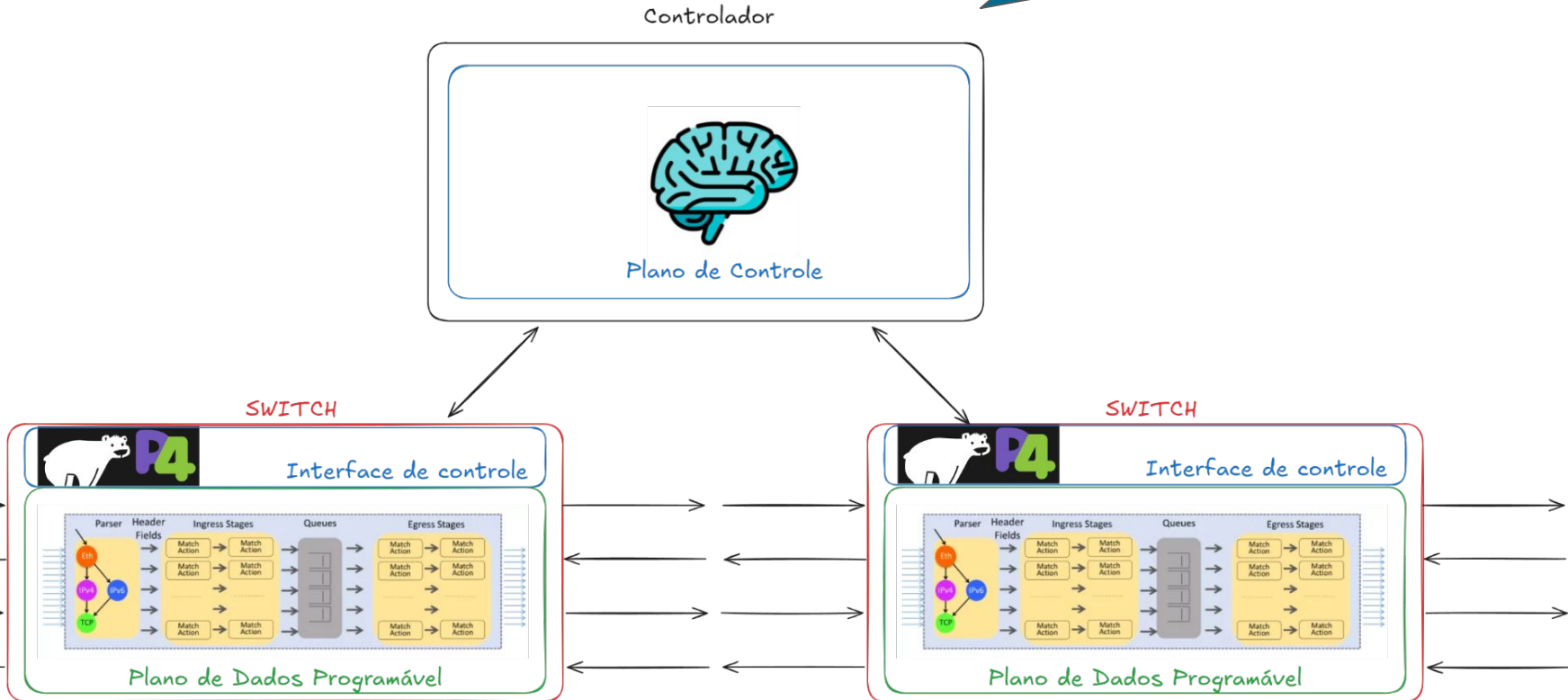
Rede tradicional



Fundamentos: SDN



Fundamentos: PDP



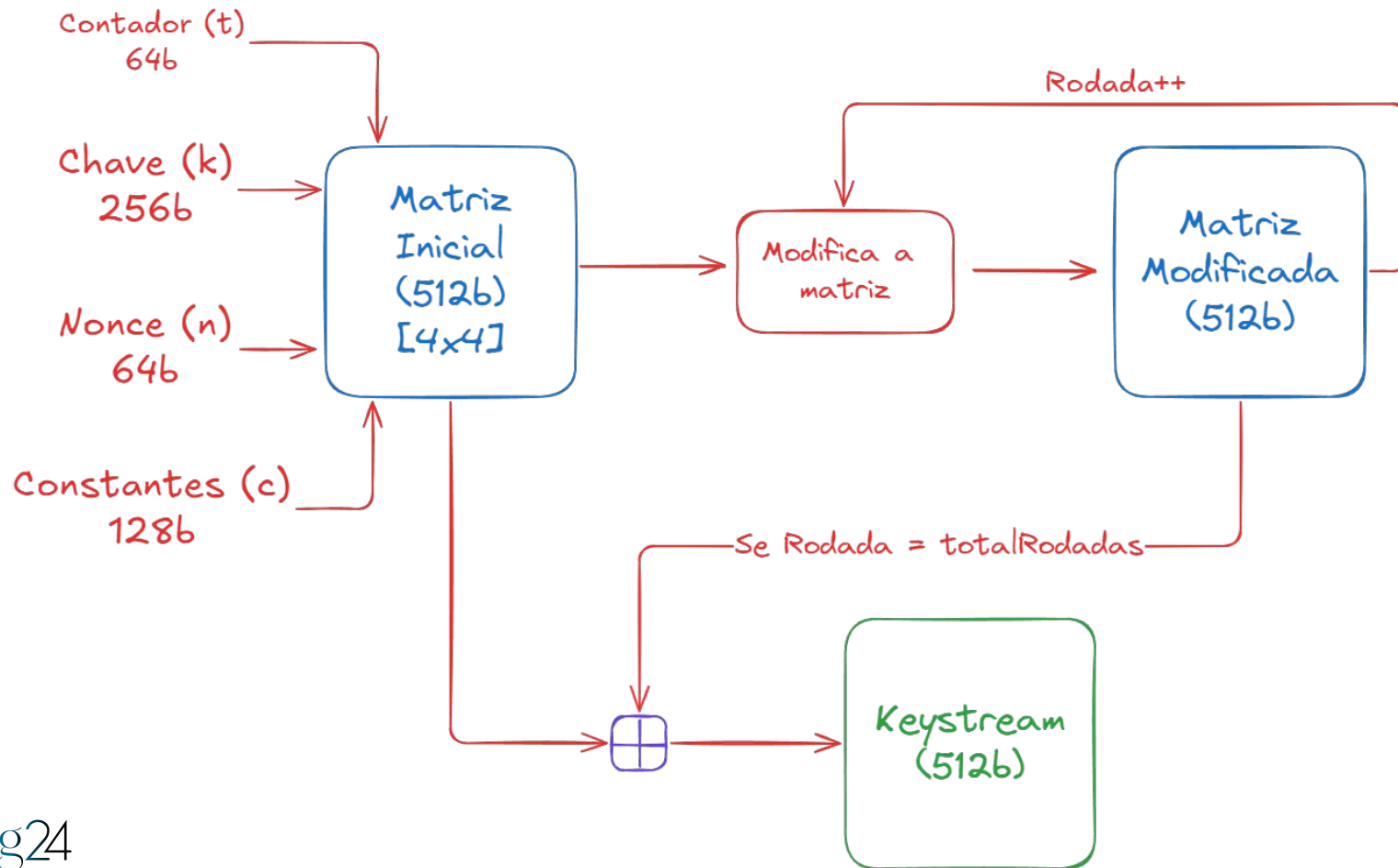
Fonte da imagem: <https://www.systemsapproach.org/blog-archive/sdn-and-disaggregation>



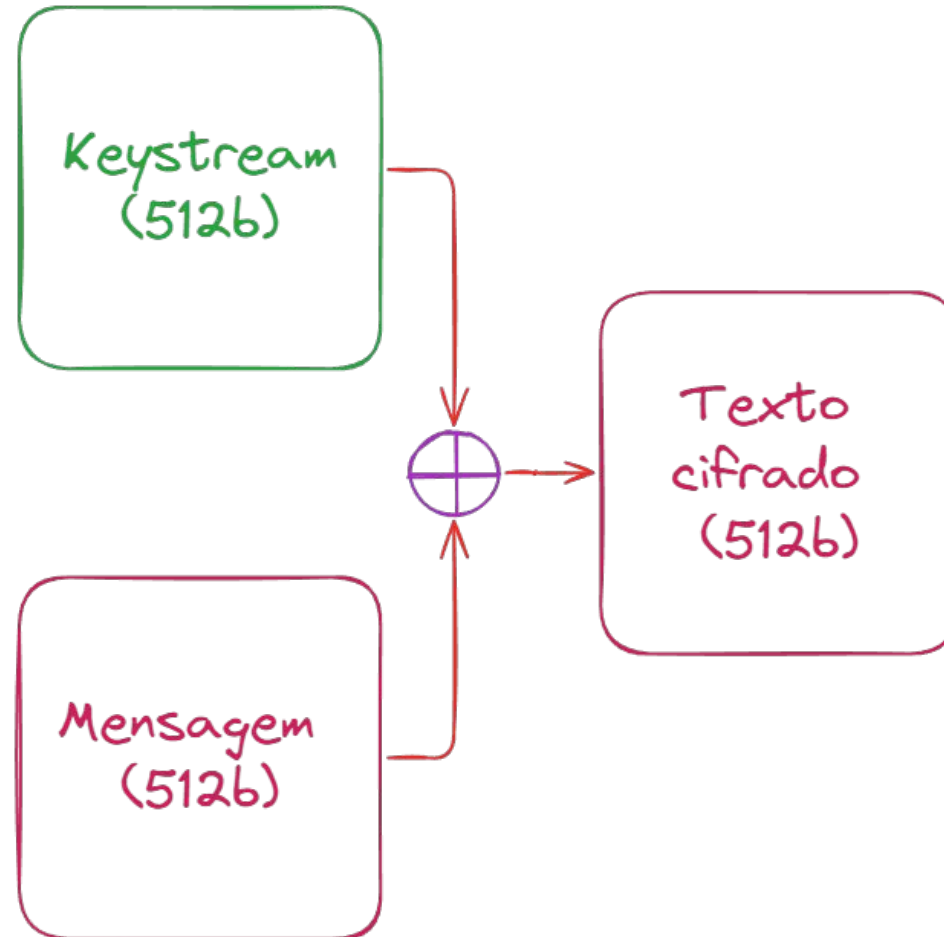
Fundamentos Cifras de Fluxo

Focado no ChaCha20 e Forro14

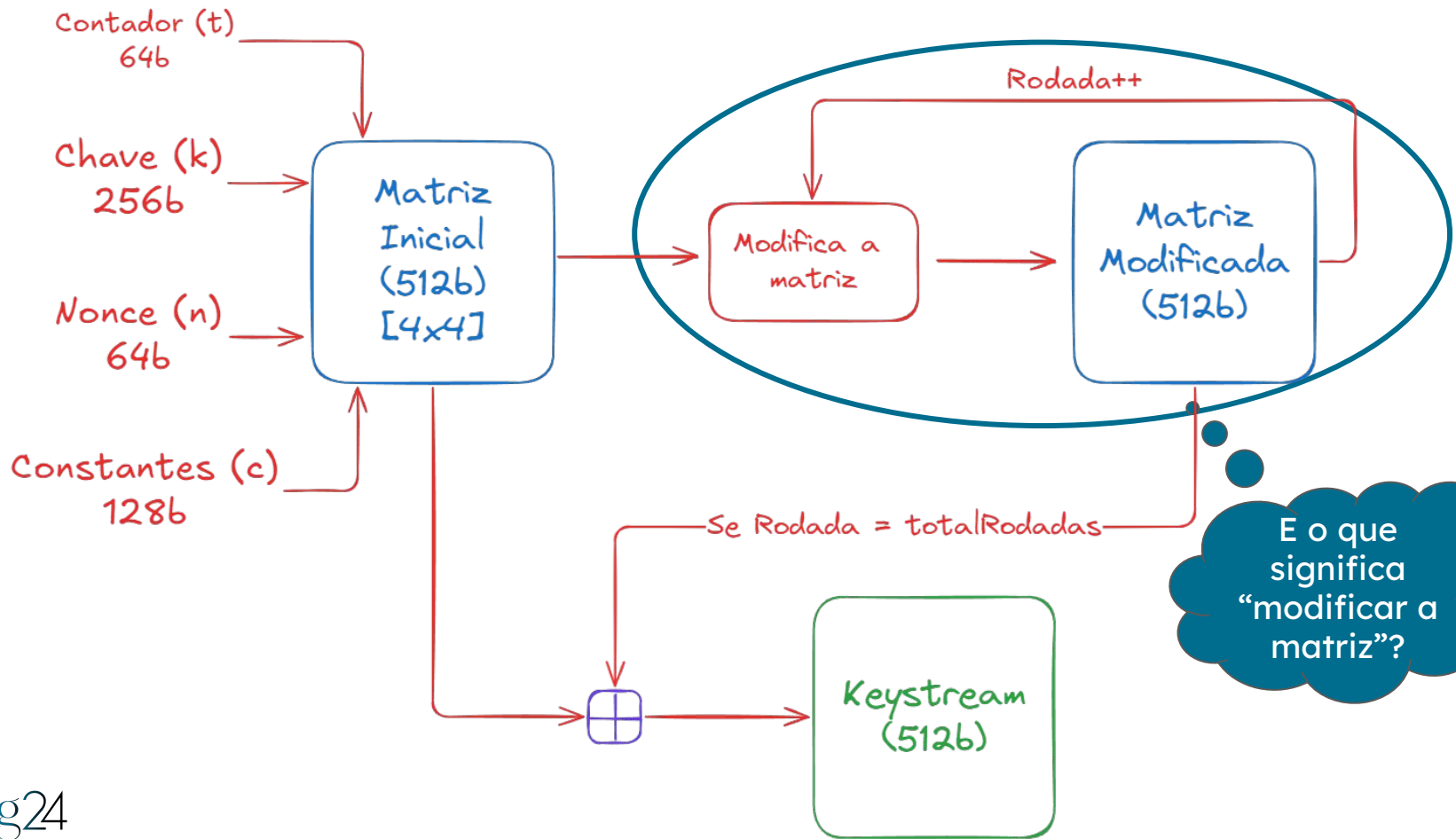
Fundamentos: ChaCha20 e Forro14



Fundamentos: ChaCha20 e Forro14

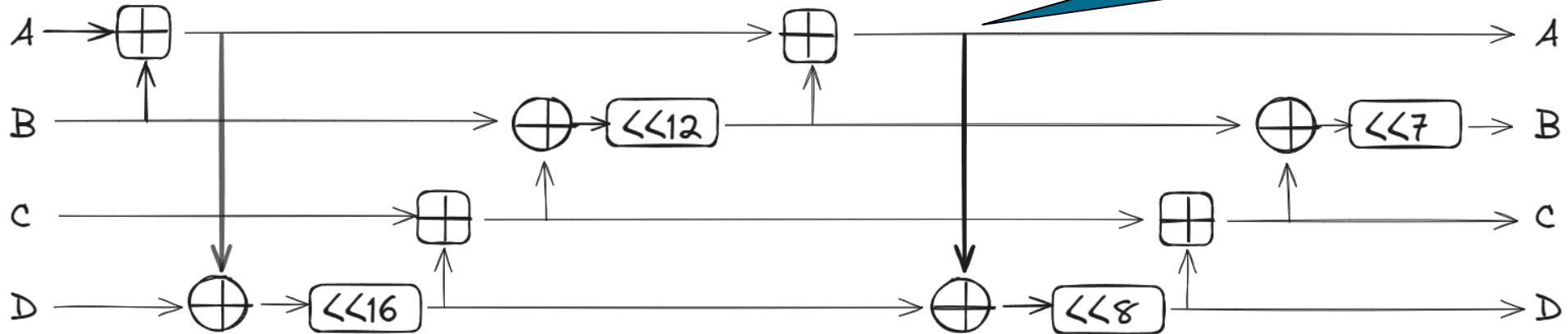


Fundamentos: ChaCha20 e Forro14



Fundamentos: ChaCha20

Quarter-Round Function (QR)



adição mod 2^{32}



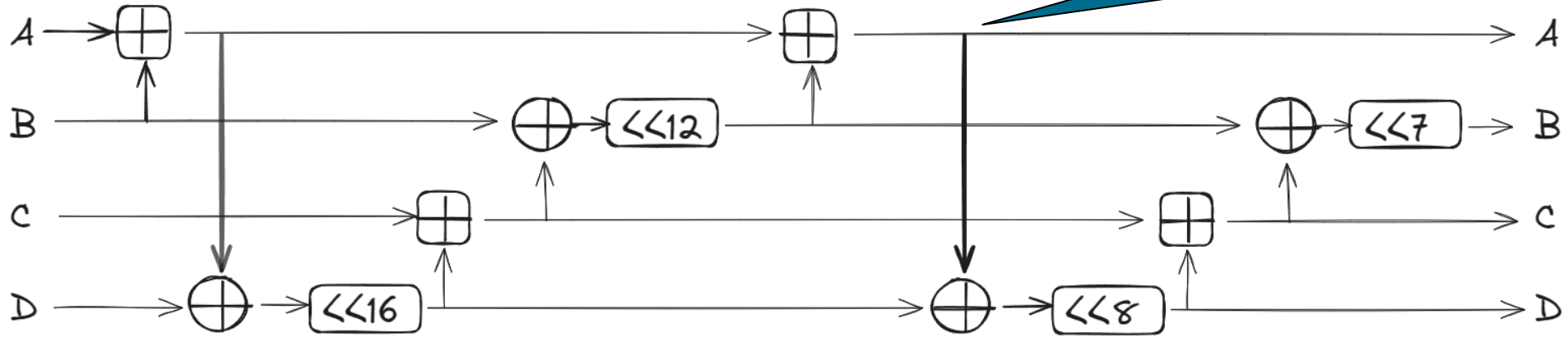
bitwise XOR



Rotação circular
à esquerda

Fundamentos: ChaCha20

Quarter-Round Function (QR)

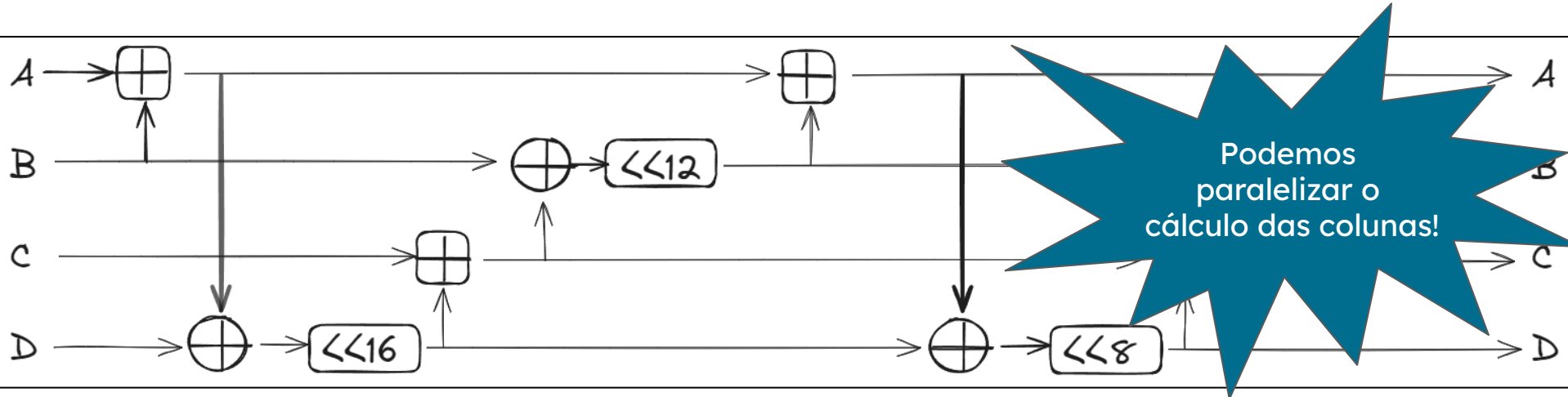


- \oplus adição mod 2^{32}
- \oplus bitwise XOR
- $\ll N$ Rotação circular à esquerda

	0	1	2	3
A	c0	c1	c2	c3
B	k0	k1	k2	k3
C	k4	k5	k6	k7
D	t0	t1	n0	n1

c = constante
 k = chave
 t = contador
 n = nonce

Fundamentos: ChaCha20

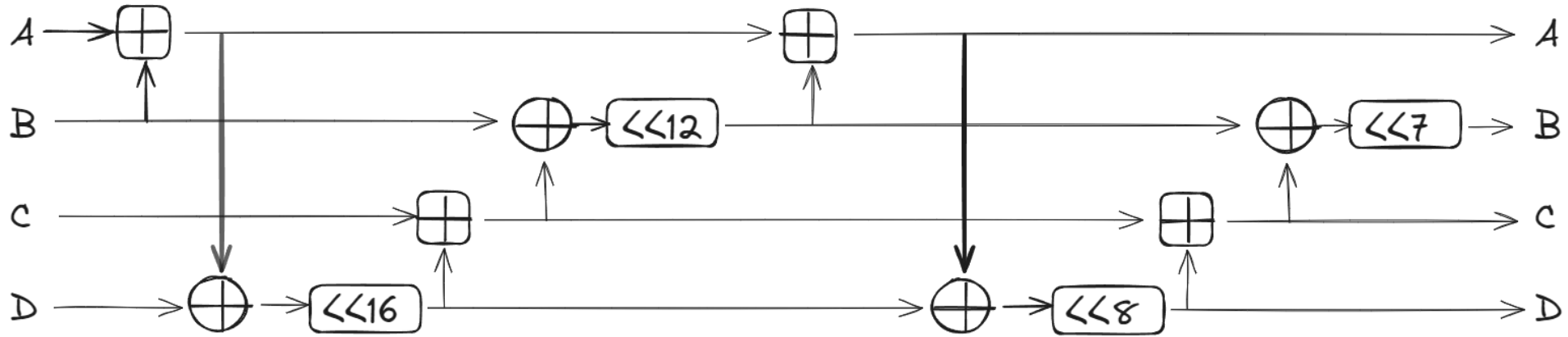


- \oplus adição mod 2^{32}
- \oplus bitwise XOR
- $\ll N$ Rotação circular à esquerda

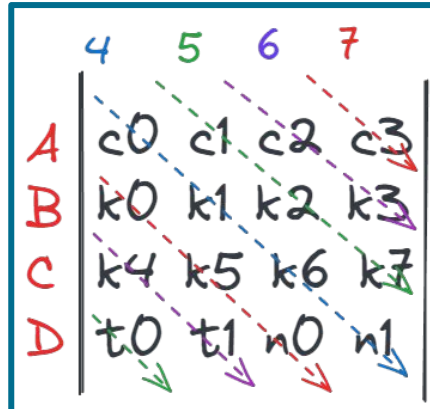
	0	1	2	3
A	c0	c1	c2	c3
B	k0	k1	k2	k3
C	k4	k5	k6	k7
D	t0	t1	n0	n1

c = constante
 k = chave
 t = contador
 n = nonce

Fundamentos: ChaCha20



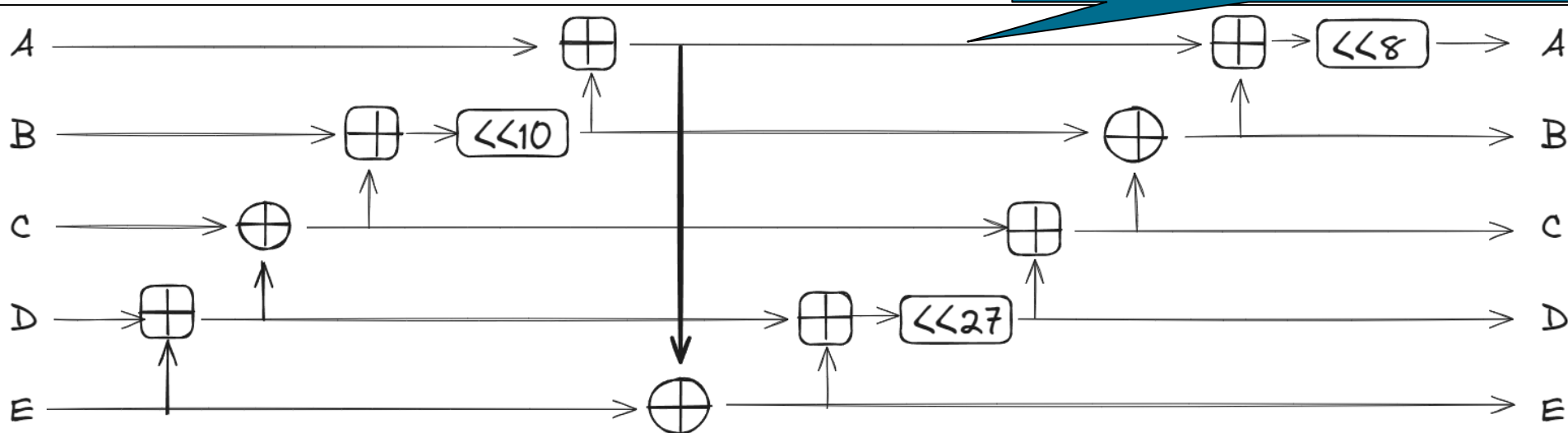
- \oplus adição mod 2^{32}
- \oplus bitwise XOR
- $\ll N$ Rotação circular à esquerda



c = constante
 k = chave
 t = contador
 n = nonce

Fundamentos: Forro14

Quarter-Round Function (QR)

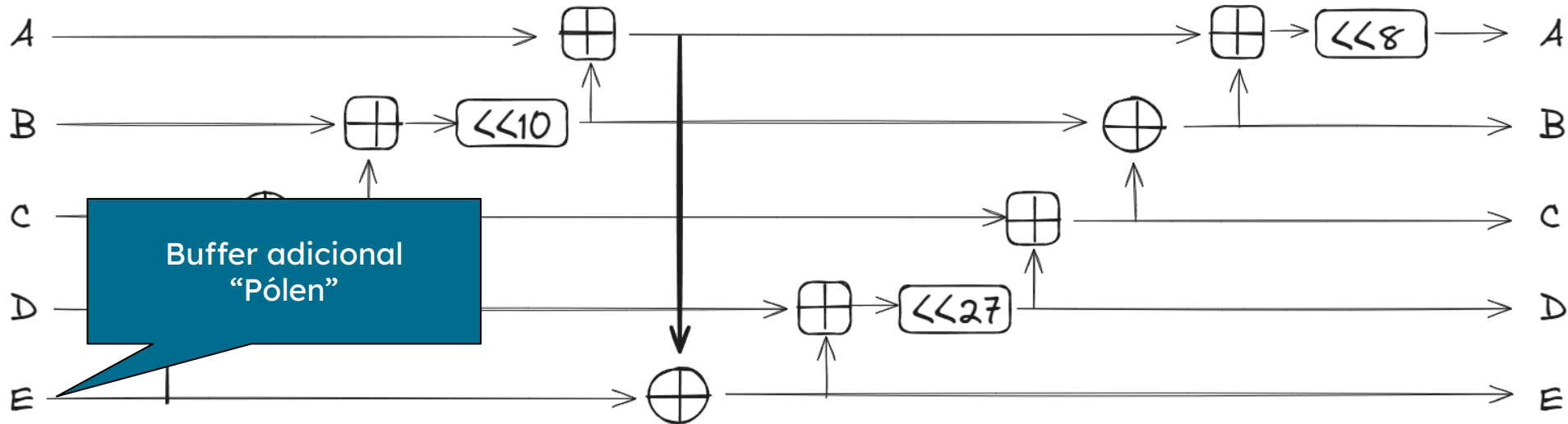


- \oplus adição mod 2^{32}
- \oplus bitwise XOR
- $\ll N$ Rotação circular à esquerda

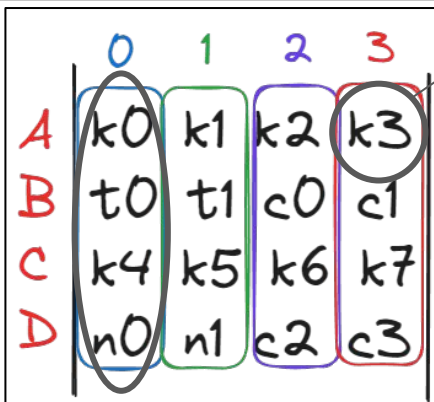
	0	1	2	3
A	k_0	k_1	k_2	k_3
B	t_0	t_1	c_0	c_1
C	k_4	k_5	k_6	k_7
D	n_0	n_1	c_2	c_3

c = constante
 k = chave
 t = contador
 n = nonce

Fundamentos: Forro14

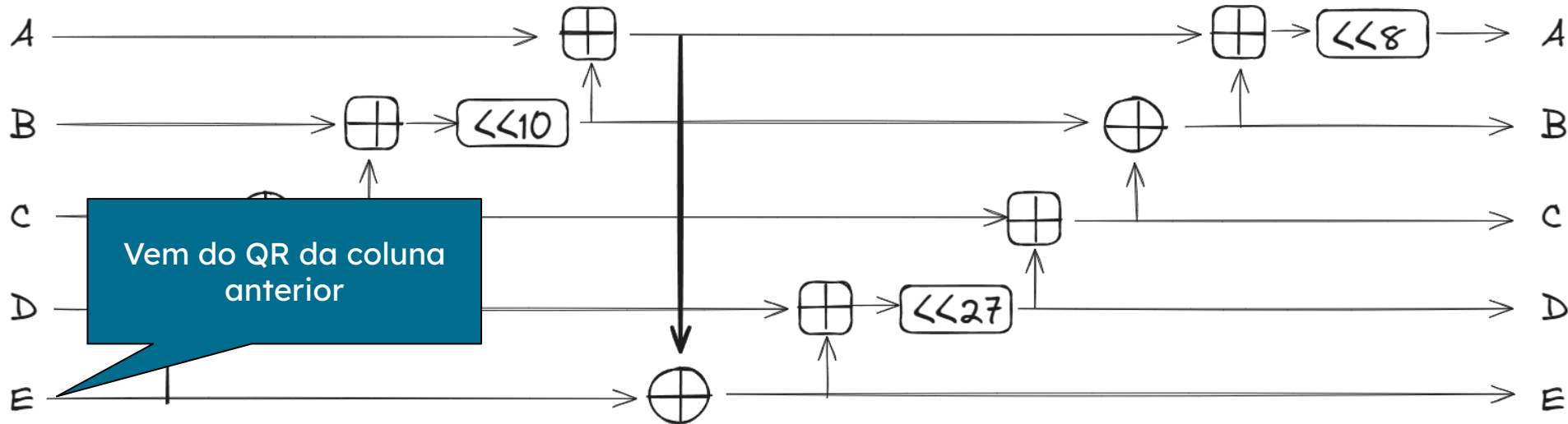


\oplus adição mod 2^{32}
 \oplus bitwise XOR
 $\ll N$ Rotação circular à esquerda



c = constante
k = chave
t = contador
n = nonce

Fundamentos: Forro14



\oplus adição mod 2^{32}

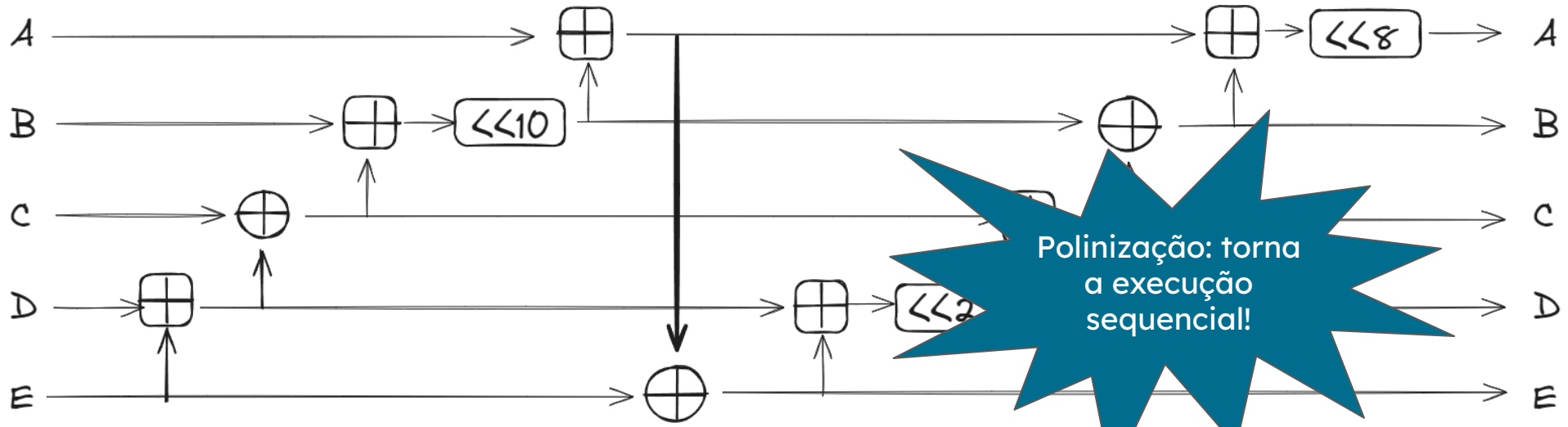
\oplus bitwise XOR

$\ll N$ Rotação circular à esquerda

E	0	1	2	3
A	k0	k1	k2	k3
B	t0	t1	c0	c1
C	k4	k5	k6	k7
D	n0	n1	c2	c3

c = constante
k = chave
t = contador
n = nonce

Fundamentos: Forro14



\oplus adição mod 2^{32}
 \oplus bitwise XOR
 $\ll N$ Rotação circular à esquerda

E	0	1	2	3
A	k0	k1	k2	k3
B	t0	t1	c0	c1
C	k4	k5	k6	k7
D	n0	n1	c2	c3

c = constante
k = chave
t = contador
n = nonce



Desafios e solução proposta

Desafios

- Tofino1: 2 pipelines de 12 estágios;
 - QR: 12 operações;

Desafios

Inicialização?
Finalização?
Cifração?

- Tofino1: 2 pipelines de 12 estágios;
 - QR: 12 operações;

Desafios

- Tofino1: 2 pipelines de 12 estágios;
 - QR: 12 operações;
- Alocação de memória
 - Dependências dificultam a alocação da memória no pipeline pelo compilador.

Desafios

- Tofino1: 2 pipelines de 12 estágios;
 - QR: 12 operações;
- Alocação de memória
 - Dependências dificultam a alocação da memória no pipeline pelo compilador.

A compilação pode falhar!

Desafios

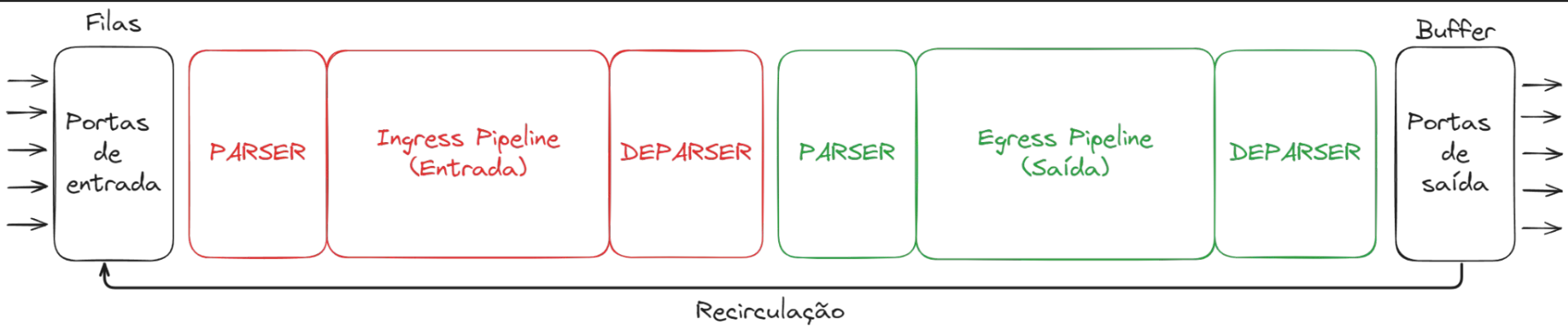
- Tofino1: 2 pipelines de 12 estágios;
 - QR: 12 operações;
- Alocação de memória
 - Dependências dificultam a alocação da memória no pipeline pelo compilador.
- Sem loops disponíveis (P4)
 - Utilizamos recirculação de pacotes.

Desafios

- Tofino1: 2 pipelines de 12 estágios;
 - QR: 12 operações;
- Alocação de memória
 - Dependências dificultam a alocação da memória no pipeline pelo compilador.
- Sem loops disponíveis (P4)
 - Utilizamos recirculação de pacotes.

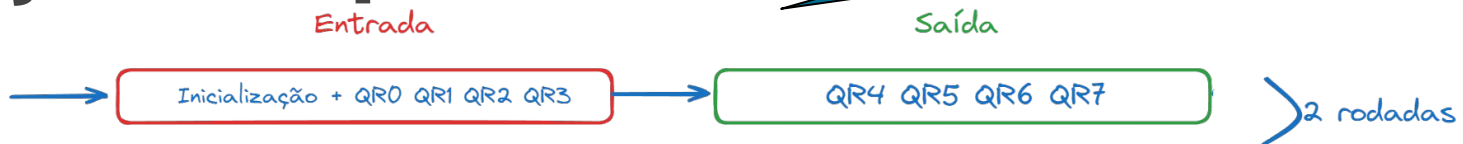
Impactos na vazão!

Desafios

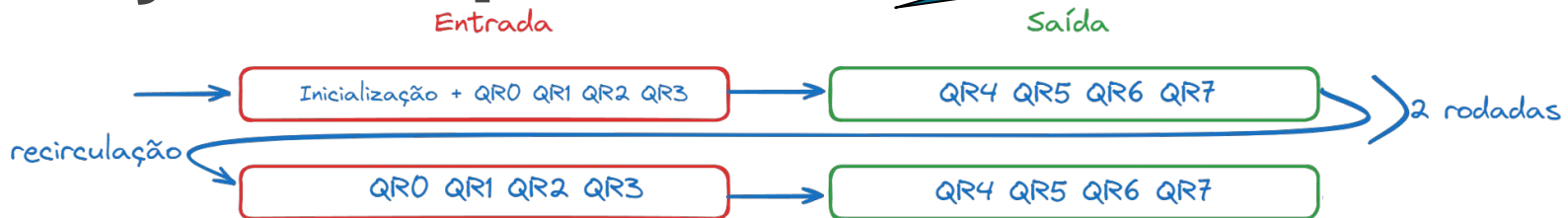


**Arquitetura referência de um switch
programável com P4**

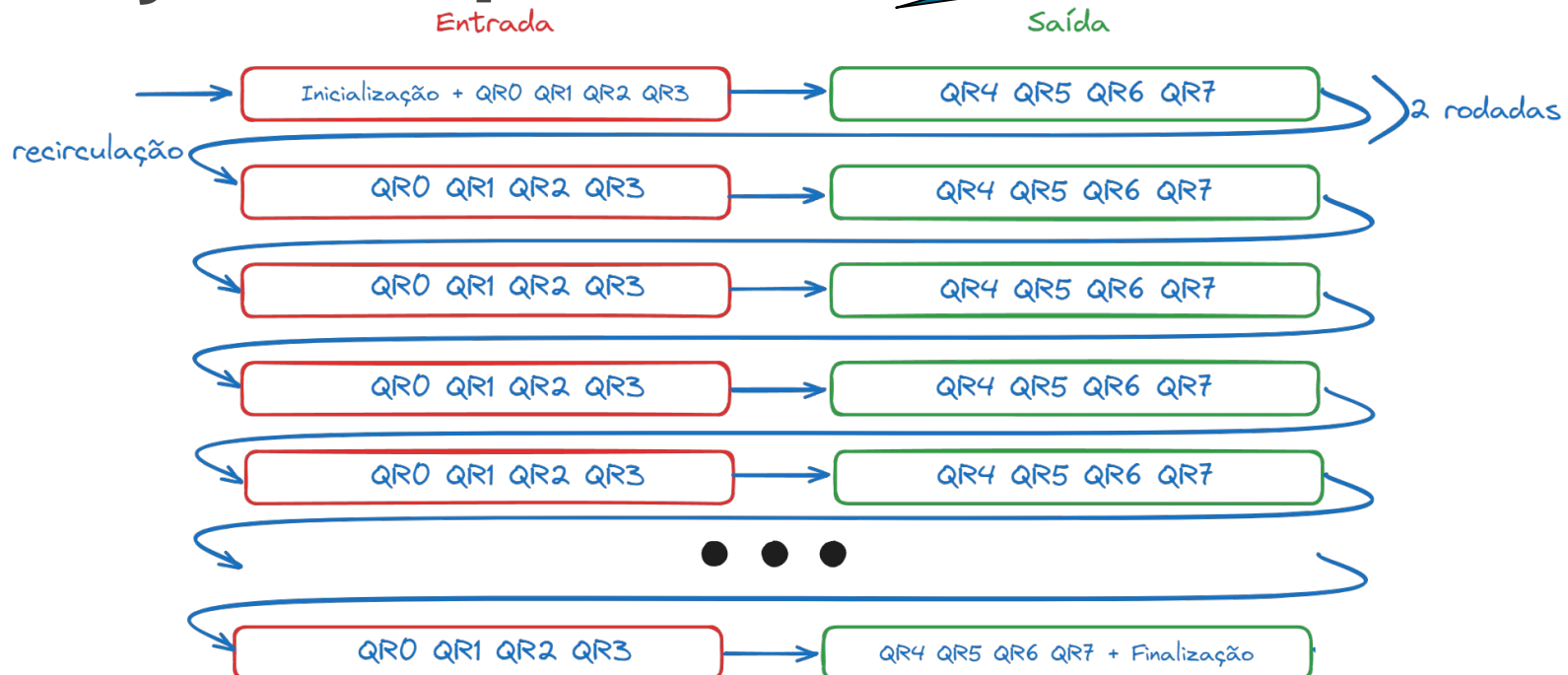
Solução Proposta



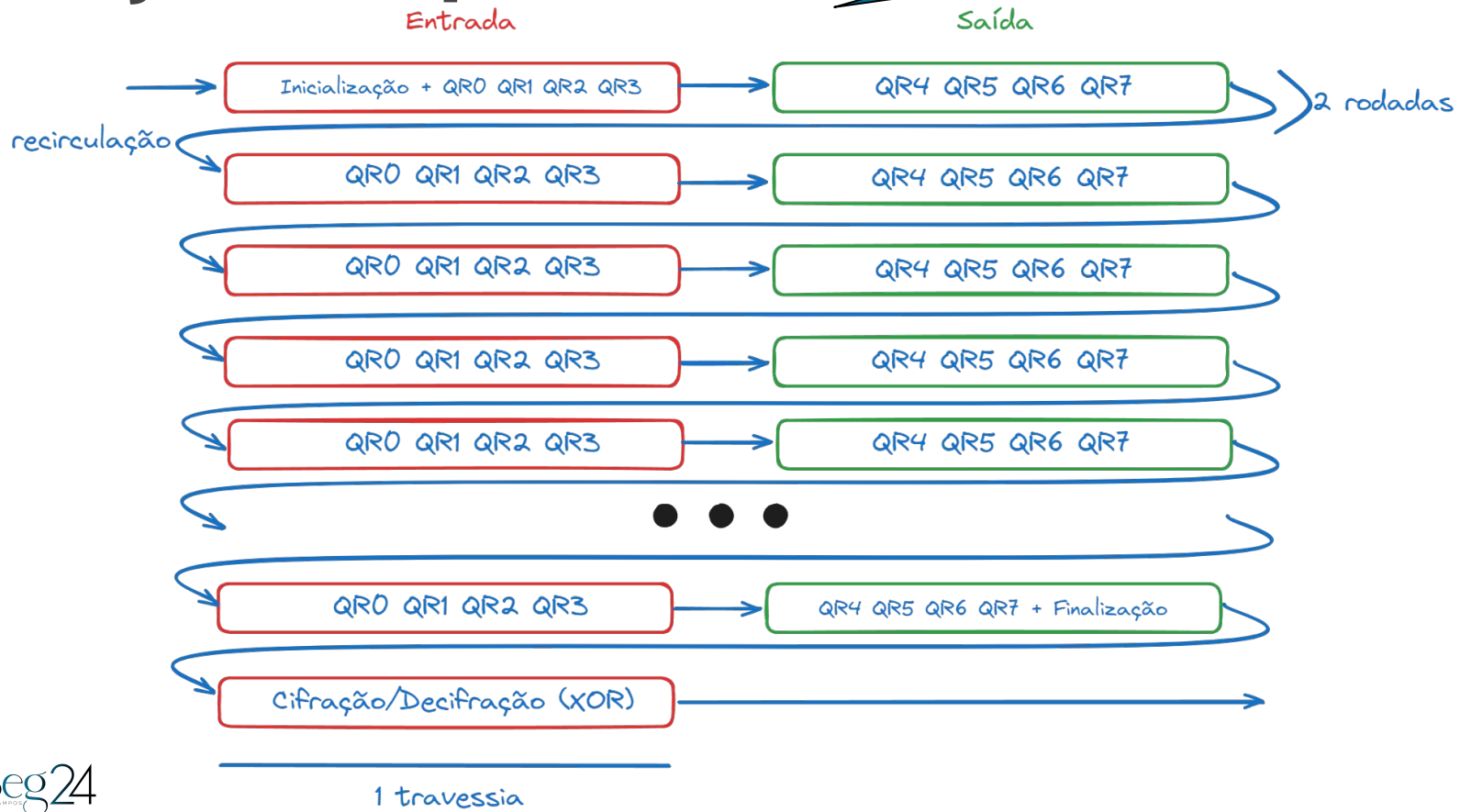
Solução Proposta



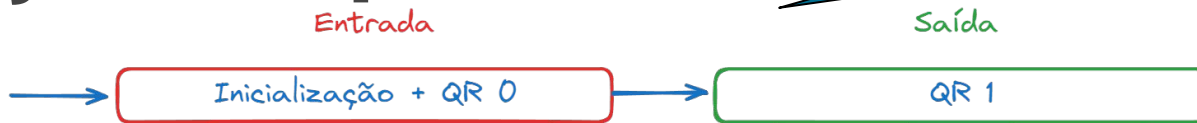
Solução Proposta



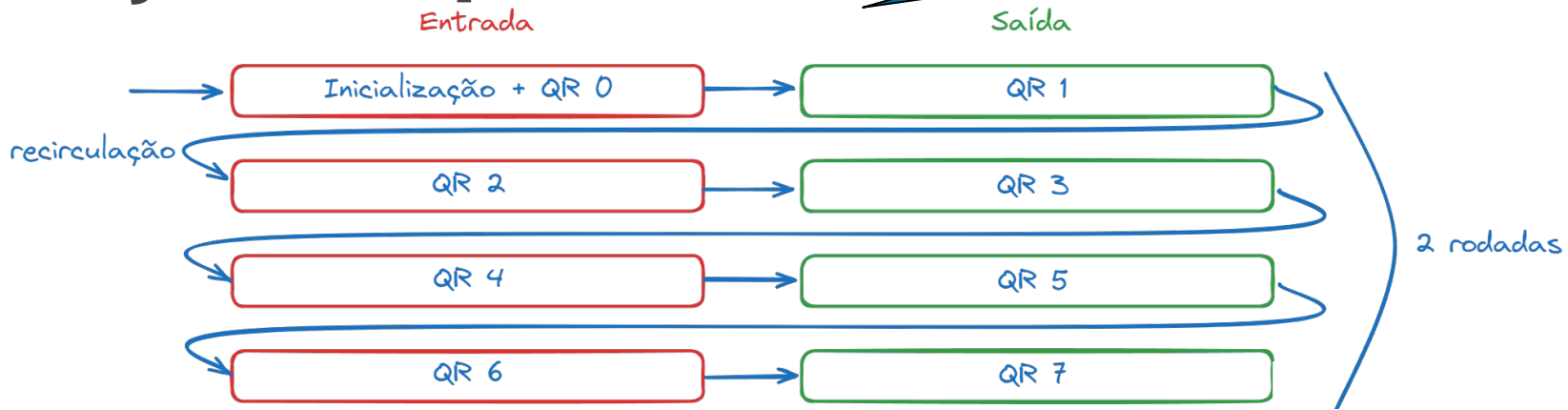
Solução Proposta



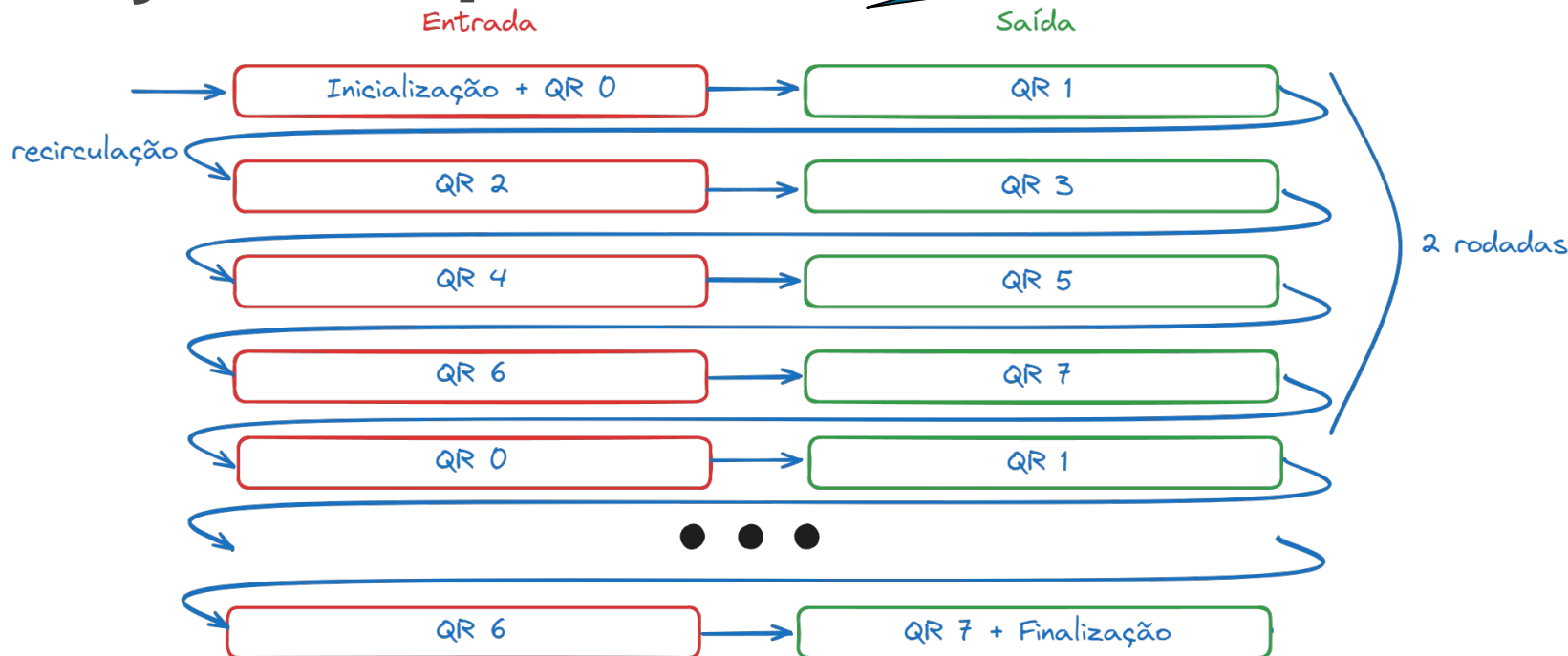
Solução Proposta



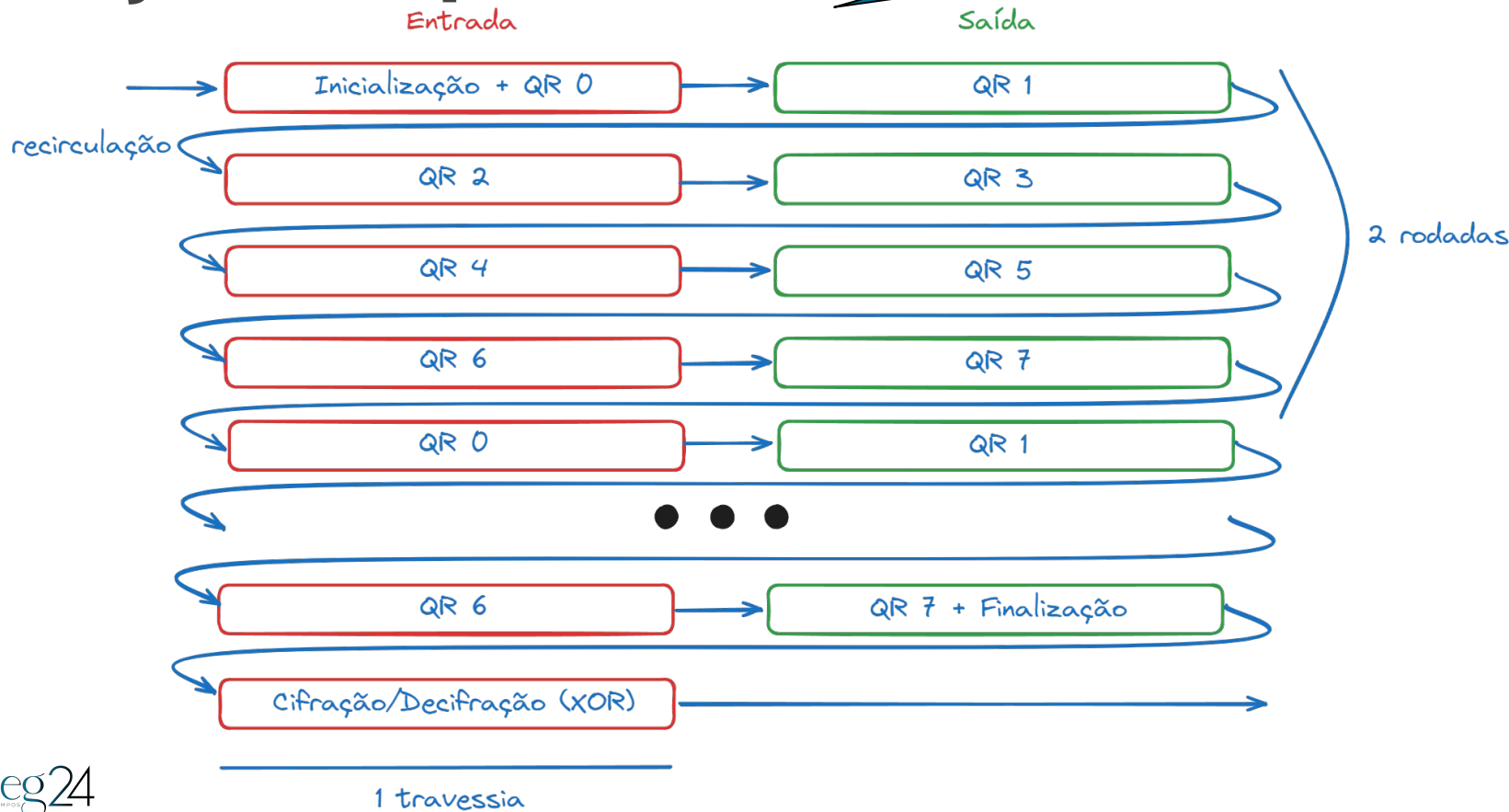
Solução Proposta



Solução Proposta



Solução Proposta





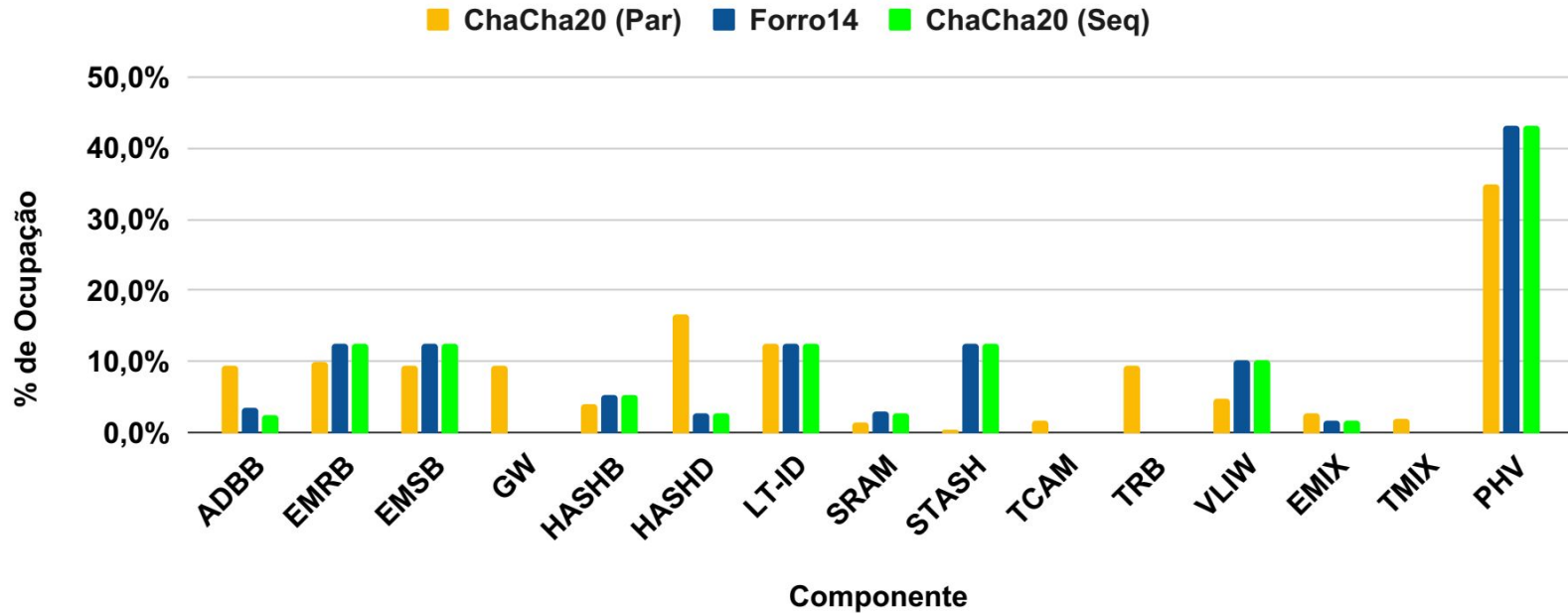
Avaliação de desempenho

Uso de recursos e vazão

Avaliação: *Implementações*

- ChaCha20 com paralelização [Yoshinaka *et al*, 2022]
 - Quatro QR por travessia do pipeline
- Forro14 [este trabalho]
 - Um QR por travessia
- ChaCha20 sequencial [este trabalho]
 - Um QR por travessia

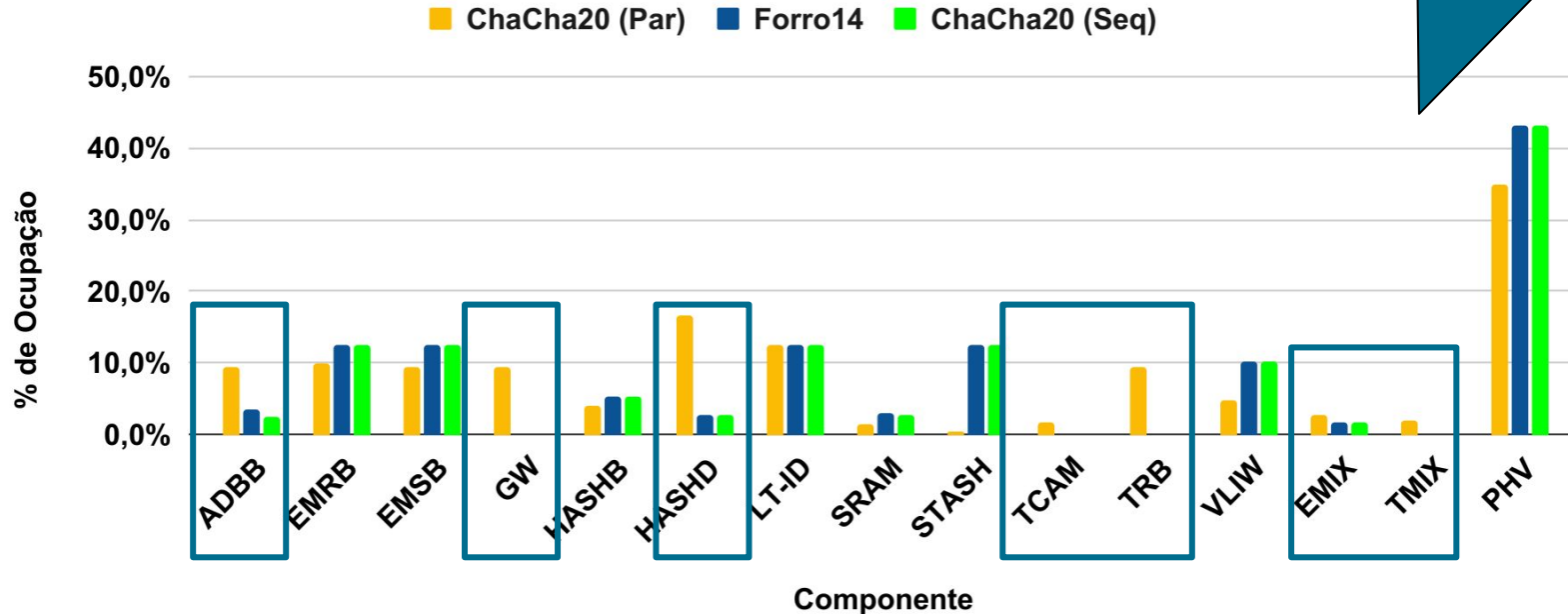
Avaliação: Uso de Recursos



Uso dos recursos do Switch (quanto menor, melhor)

Avaliação: Uso de Recursos

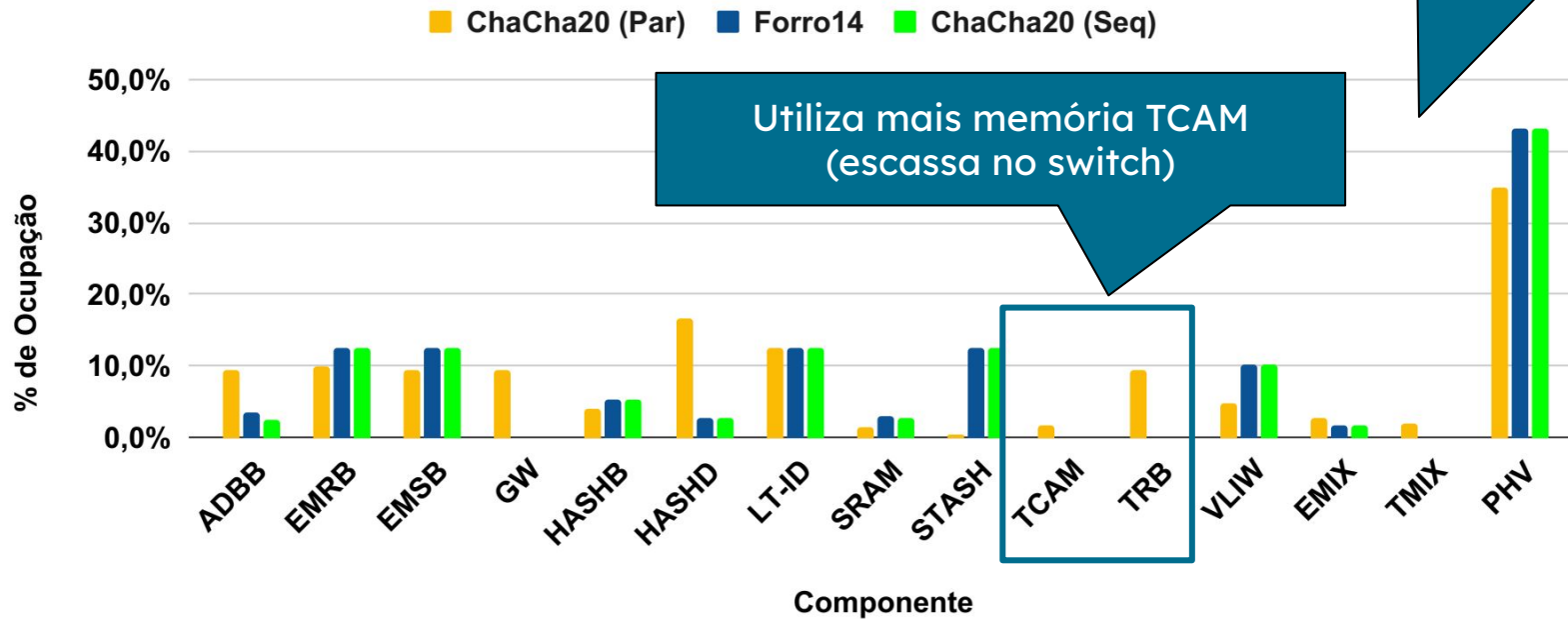
Maiores usos pelo ChaCha20 paralelo (7 de 15)



Uso dos recursos do Switch (quanto menor, melhor)

Avaliação: Uso de Recursos

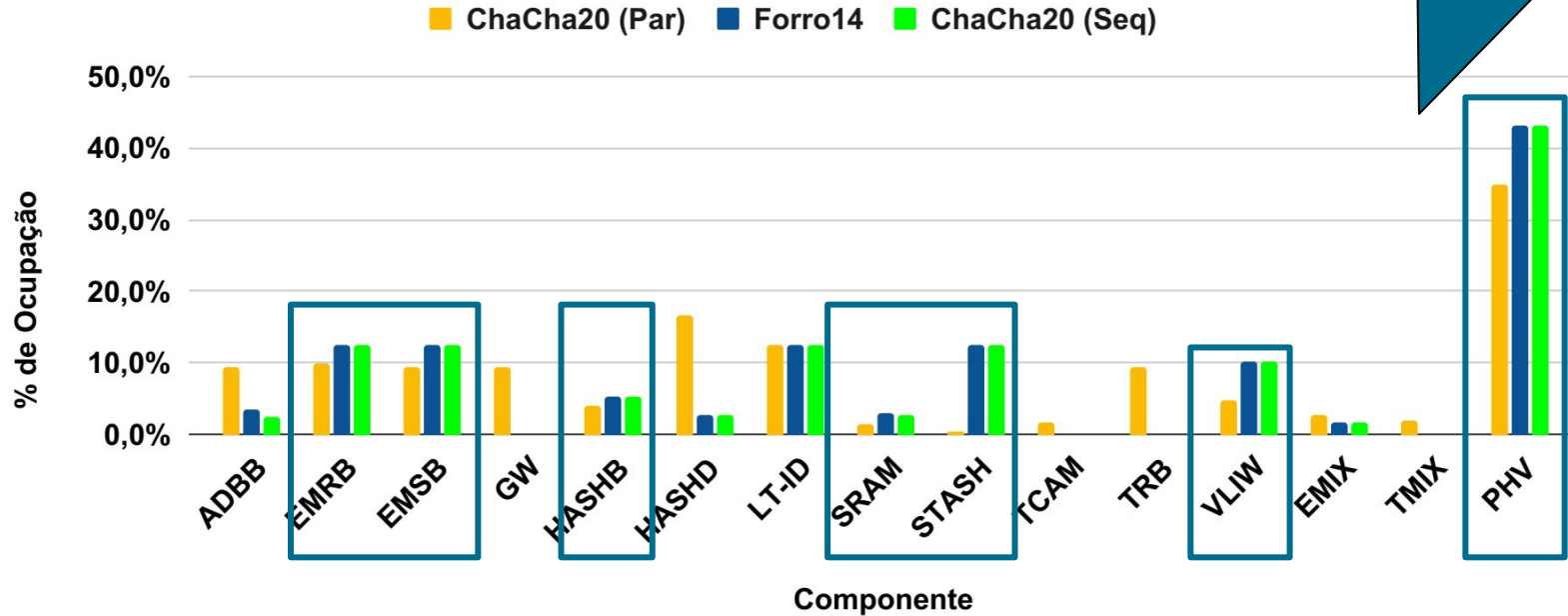
Maiores usos pelo ChaCha20 paralelo (7 de 15)



Uso dos recursos do Switch
(quanto menor, melhor)

Avaliação: Uso de Recursos

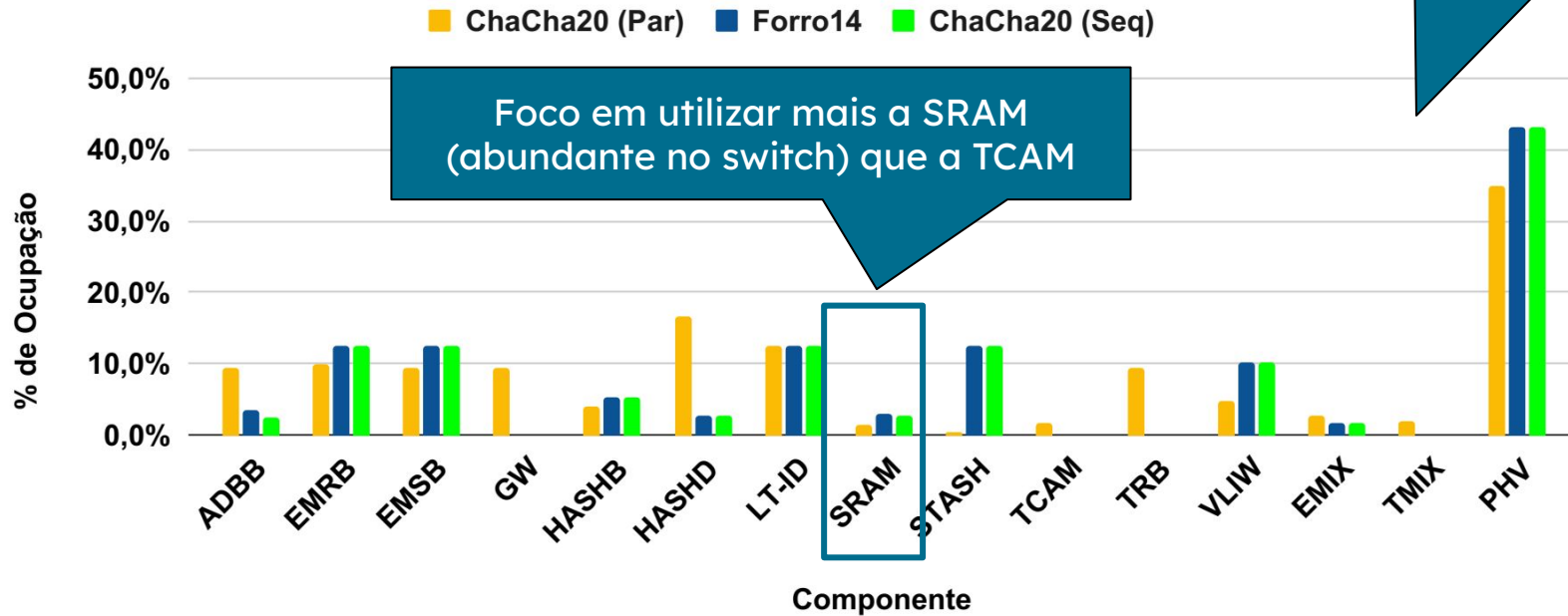
Maiores usos pelo Forro14 (7 de 15)



**Uso dos recursos do Switch
(quanto menor, melhor)**

Avaliação: Uso de Recursos

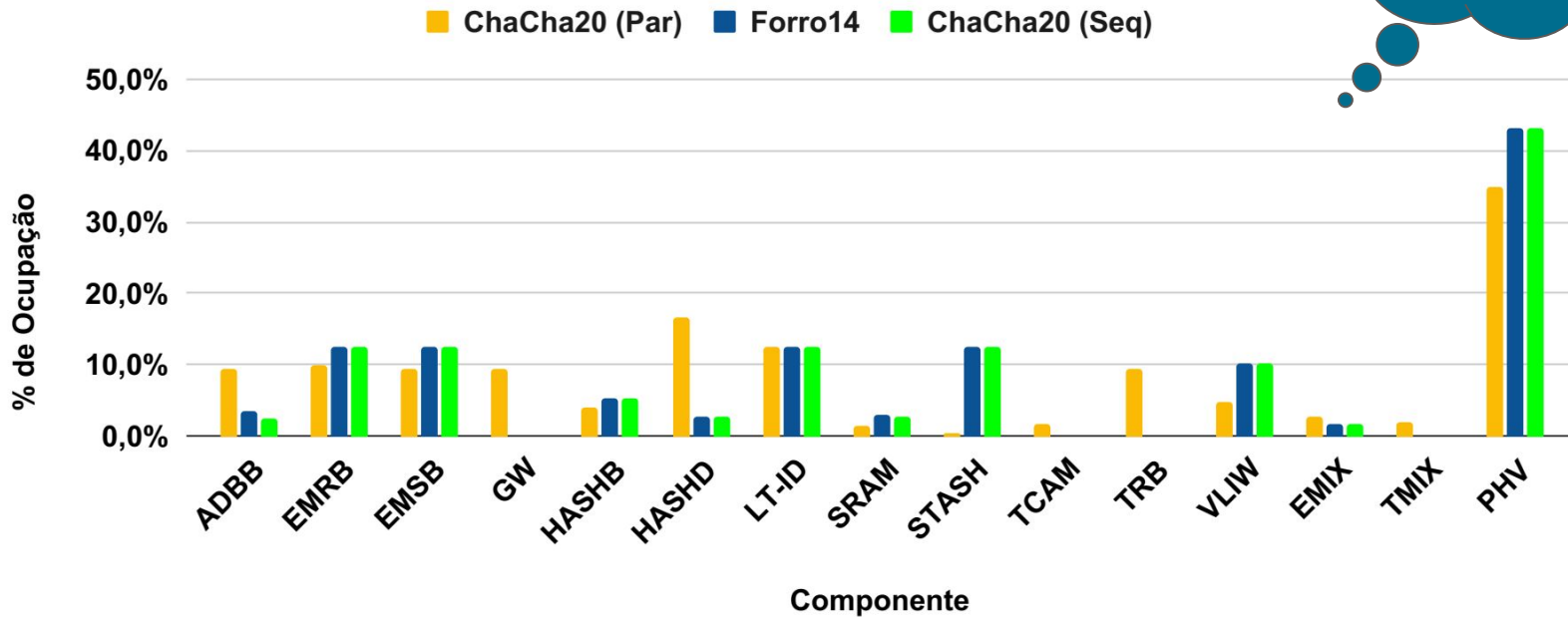
Maiores usos pelo Forro14 (7 de 15)



Uso dos recursos do Switch
(quanto menor, melhor)

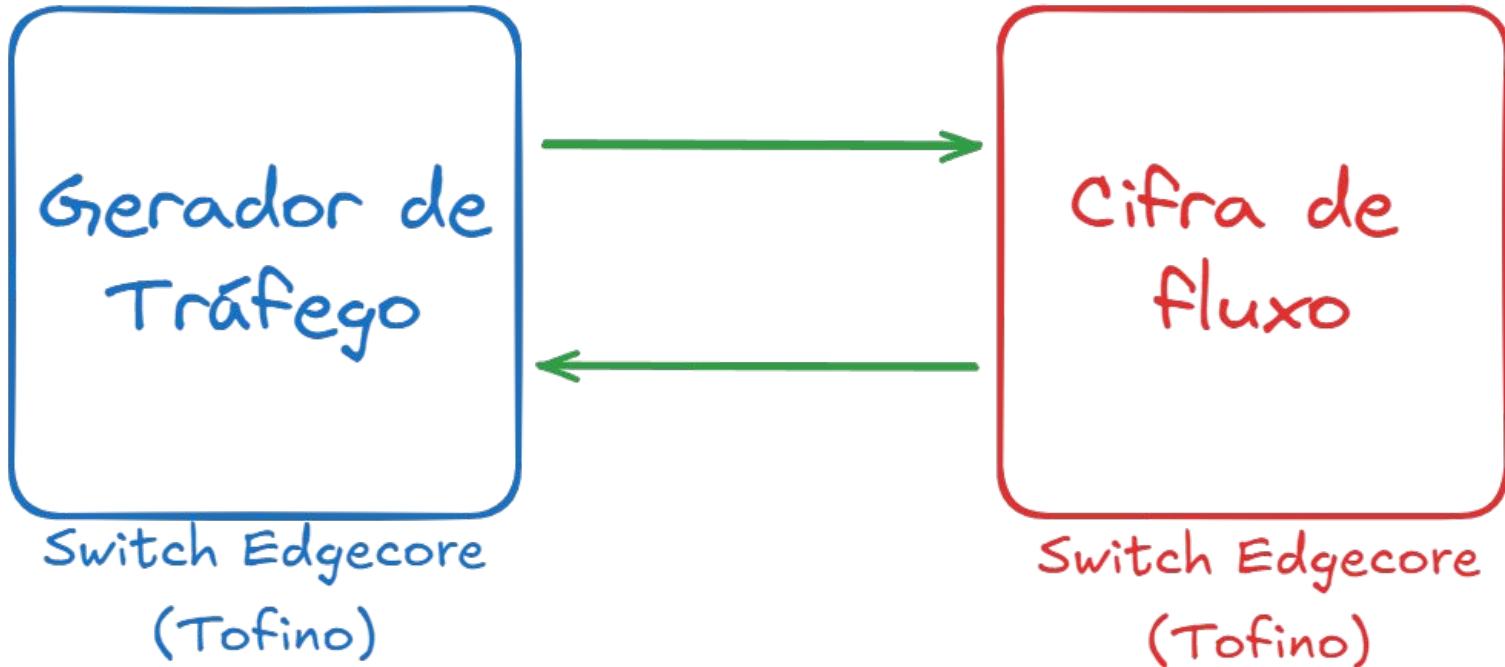
Avaliação: Uso de Recursos

E quanto à vazão alcançada?



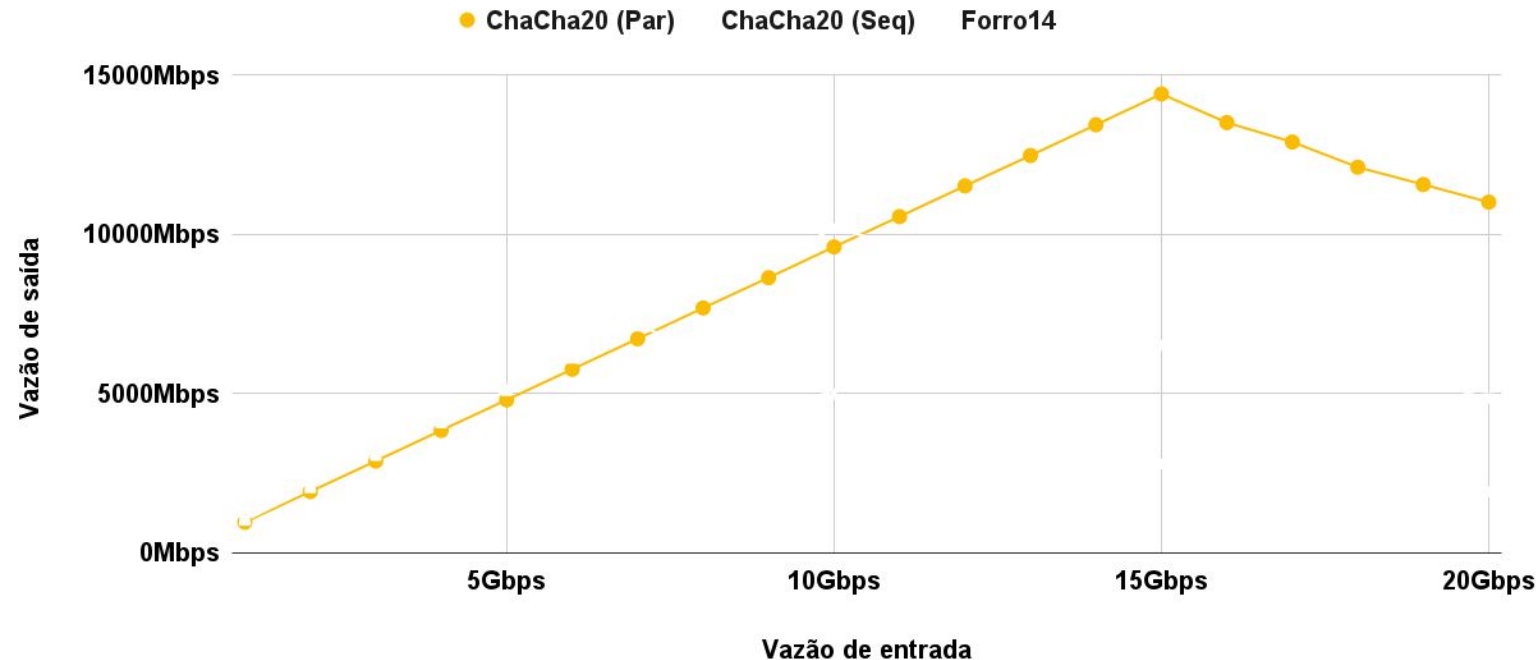
**Uso dos recursos do Switch
(quanto menor, melhor)**

Avaliação: *Testbed*



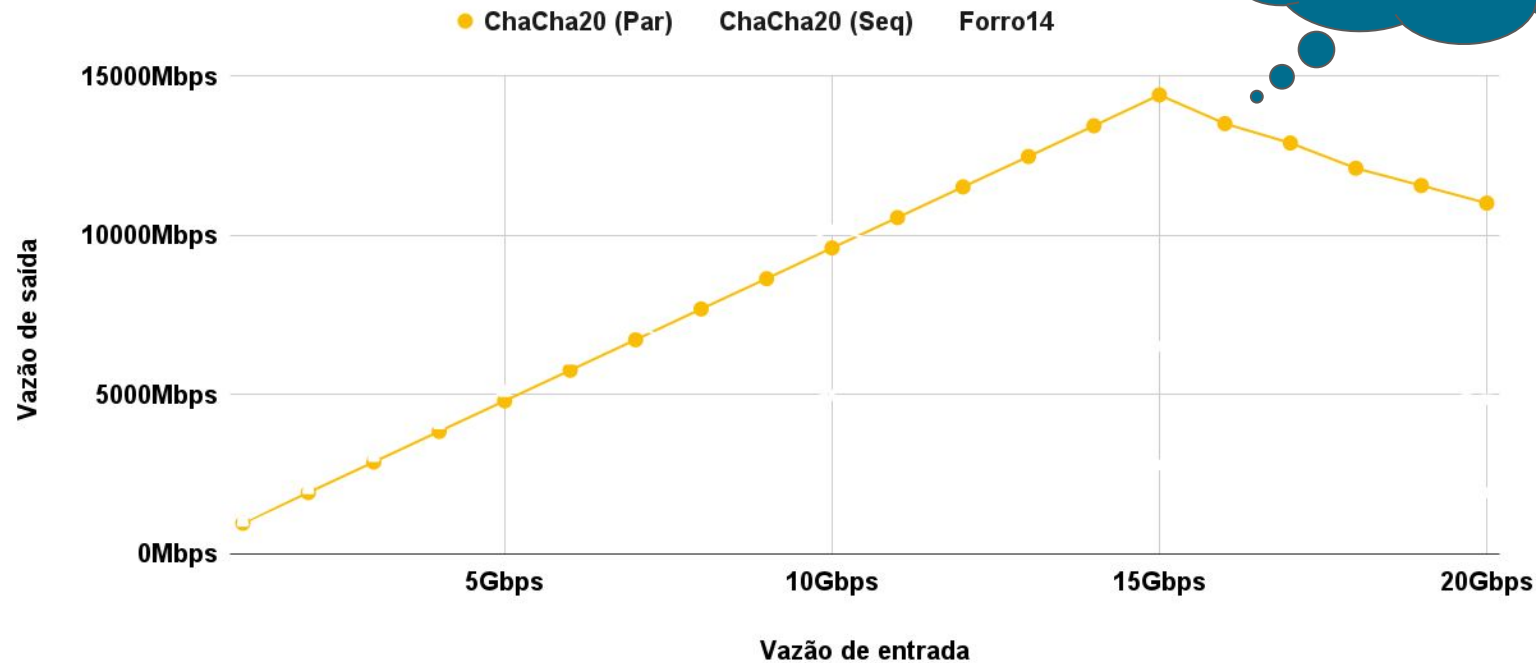
Testbed utilizado

Avaliação: Vazão



**Vazão alcançada em Mbps
(Quanto mais, melhor)**

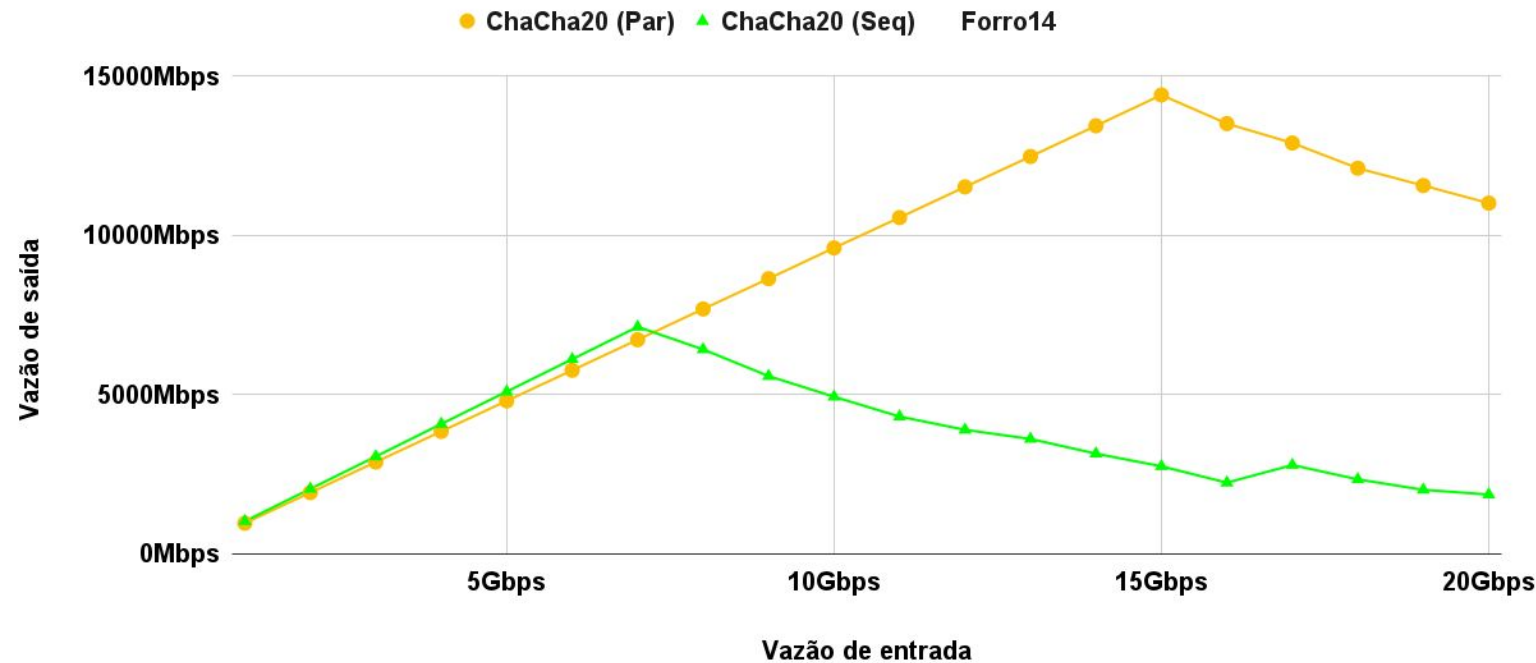
Avaliação: Vazão



Mas e se eu tiver restrição de recursos?

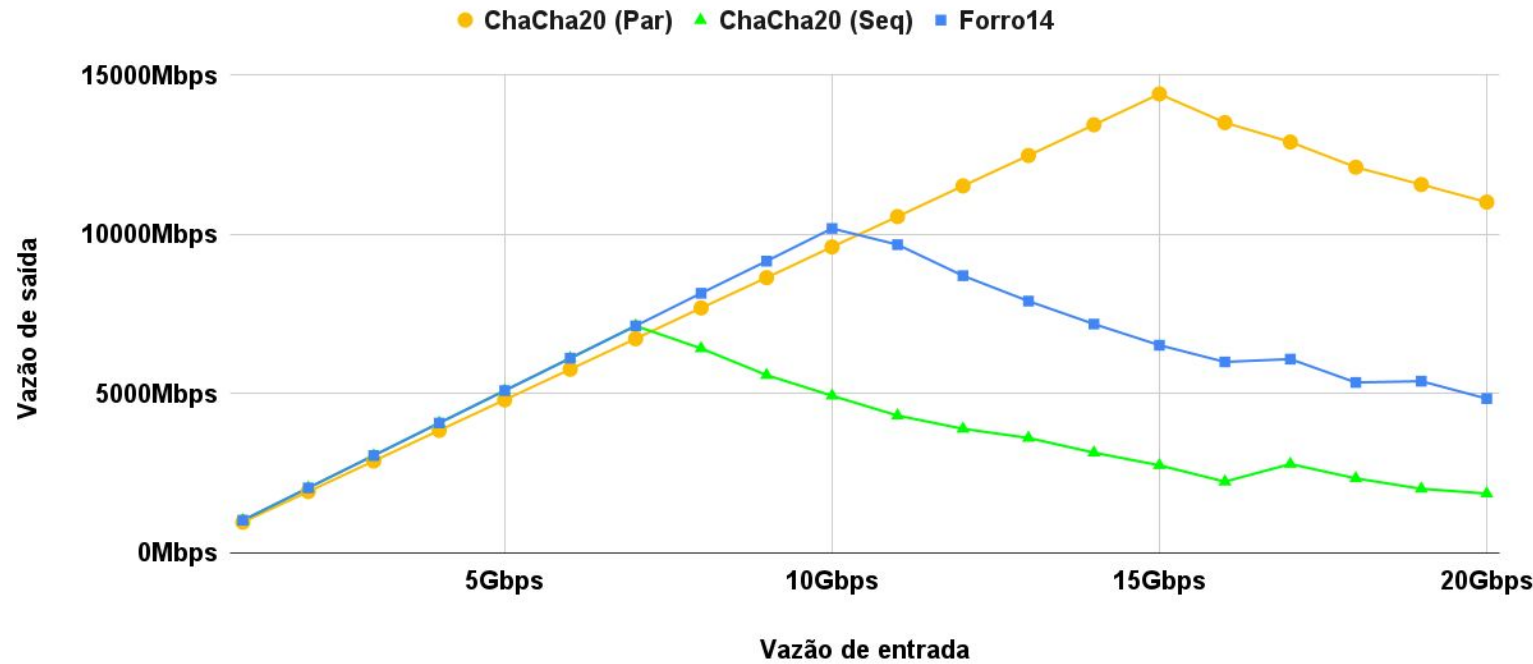
**Vazão alcançada em Mbps
(Quanto mais, melhor)**

Avaliação: Vazão



**Vazão alcançada em Mbps
(Quanto mais, melhor)**

Avaliação: Vazão



**Vazão alcançada em Mbps
(Quanto mais, melhor)**

Avaliação: Conclusões

- Para cenários com restrição de recurso, o Forro14:
 - possui o mesmo uso de recursos do ChaCha20 sequencial com vazão máxima ~43% maior.
 - não utiliza a memória TCAM (escassa no *switch*)



Trabalhos futuros

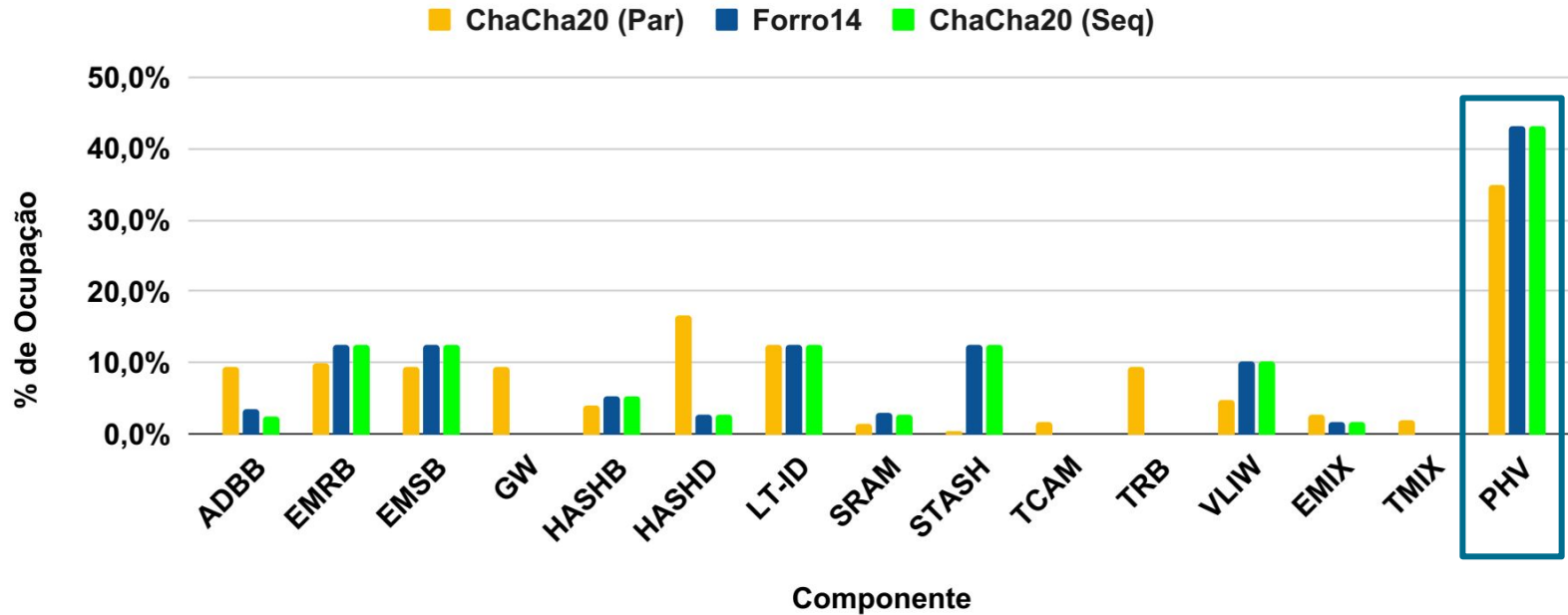
Trabalhos futuros

- Refatorar a implementação do Forro14 para reduzir o uso de *PHV*;

Trabalhos futuros

- Refatorar a implementação do Forro14 para reduzir o uso de *PHV*;
 - *PHV (Packet Header Vectors)*: “alocação de memória” por estágio do pipeline.

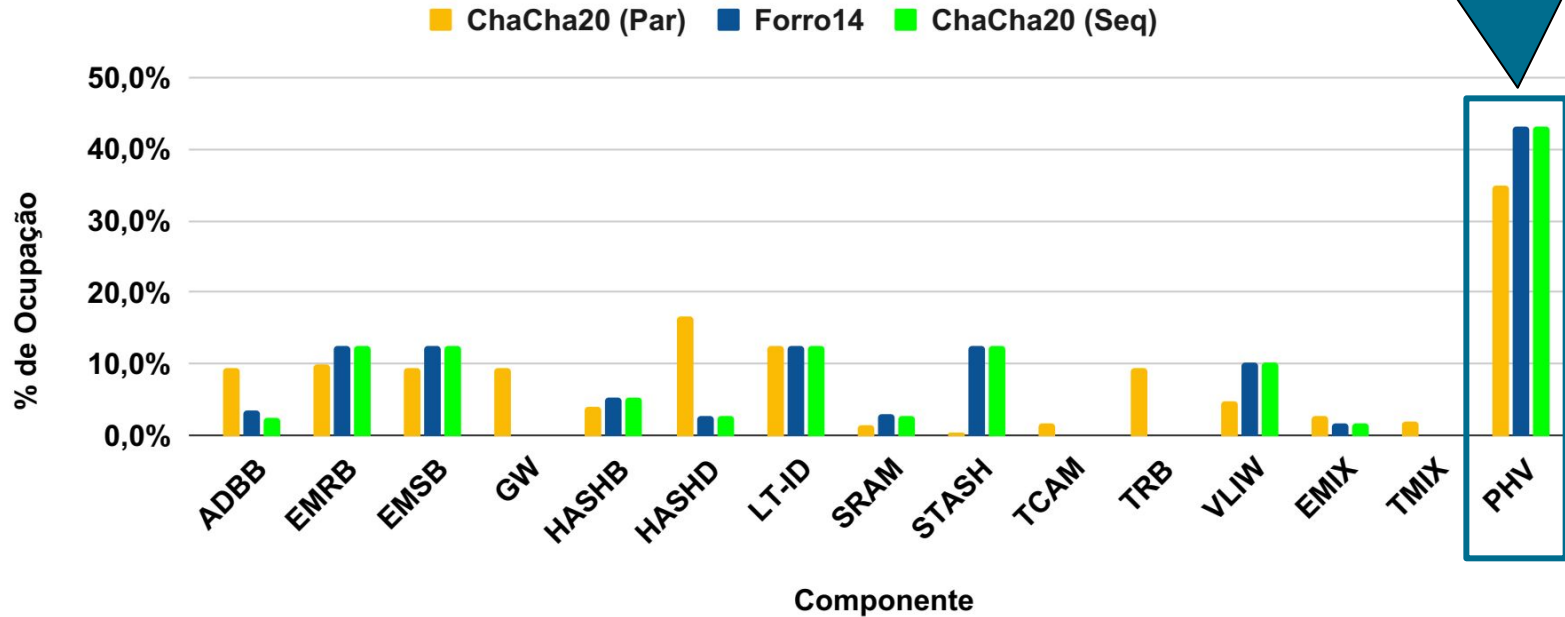
Trabalhos futuros



Uso dos recursos do Switch (quanto menor, melhor)

Trabalhos futuros

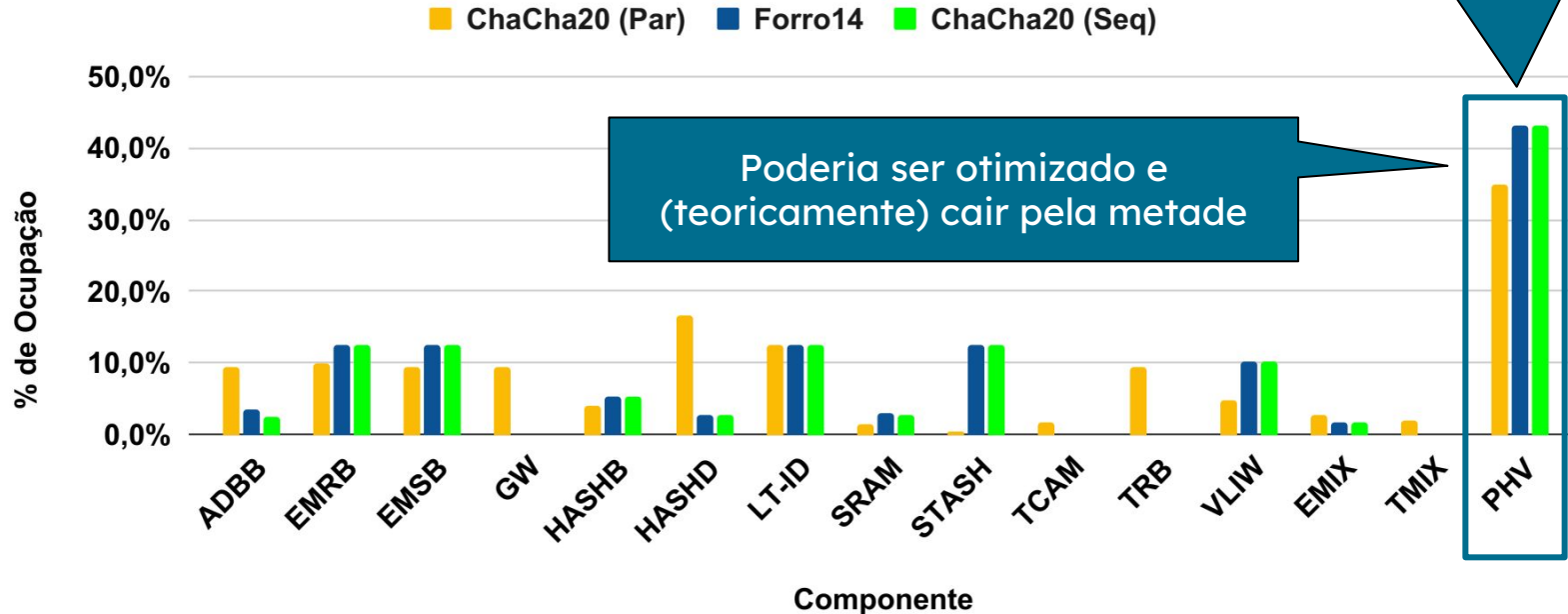
Essa alocação é contraintuitiva



**Uso dos recursos do Switch
(quanto menor, melhor)**

Trabalhos futuros

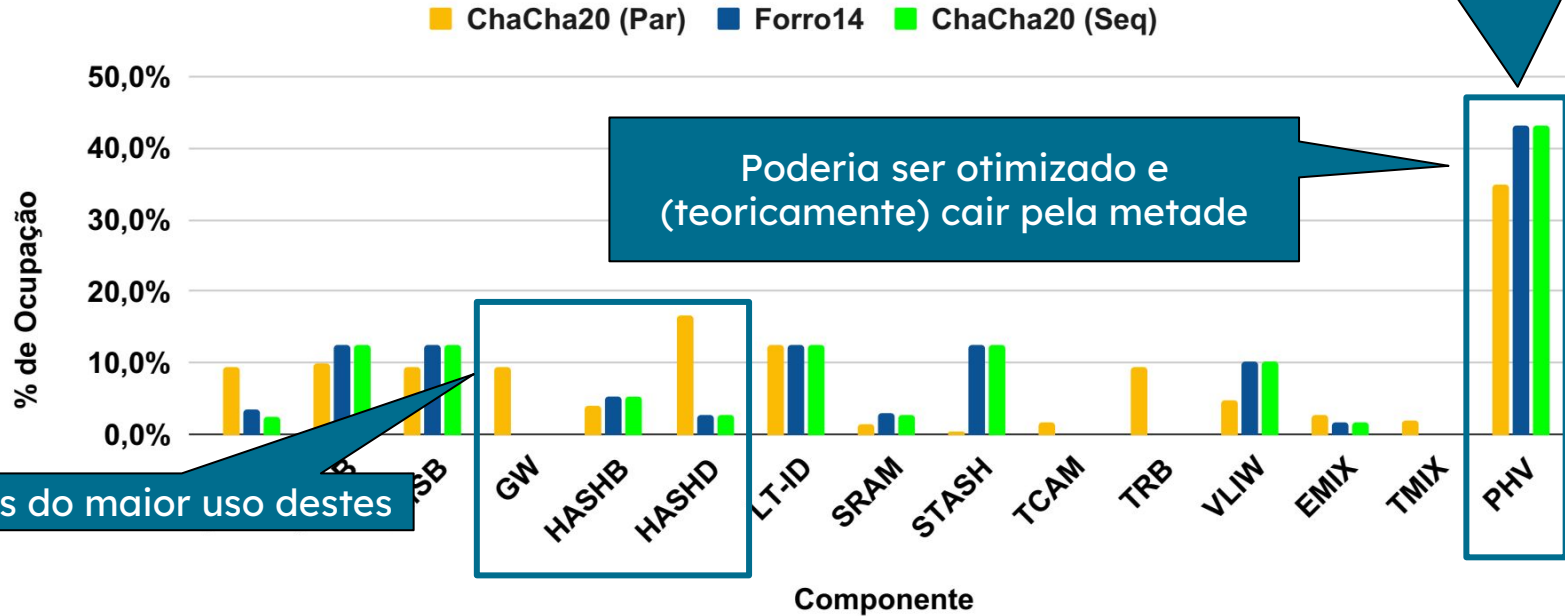
Essa alocação é contraintuitiva



**Uso dos recursos do Switch
(quanto menor, melhor)**

Trabalhos futuros

Essa alocação é contraintuitiva



Uso dos recursos do Switch
(quanto menor, melhor)

Trabalhos futuros

- Implementação e avaliação de uma versão paralelizada do Forro14

Trabalhos futuros

- Implementação e avaliação de uma versão paralelizada do Forro14
 - calcular mais de um estado por rodada;

Trabalhos futuros

- Implementar e avaliar as cifras com *AEAD*
(Cifração Autenticada com Dados Associados)

Trabalhos futuros

- Implementar e avaliar as cifras com *AEAD*
(Cifração Autenticada com Dados Associados)
 - XChaCha20-Poly1305 e XForro14-Poly1305.

ACKNOWLEDGMENTS & DISCLAIMER



This work has been performed within the framework of the FAPESP Engineering Research Center (ERC) Program under FAPESP grant agreement #2021/00199-8 (SMARTNESS).

The information in this document reflects the SMARTNESS ERC's view, but the partner institutions of SMARTNESS are not liable for any use that may be made of any of the information contained therein. The opinions, hypotheses and conclusions or recommendations expressed in this material are the responsibility of the author(s) and do not necessarily reflect FAPESP's vision or the other granting authorities. The views expressed are solely those of the authors and do not necessarily represent Ericsson's official standpoint.



INFORMATION & NETWORKING
TECHNOLOGIES RESEARCH &
INNOVATION GROUP



ERICSSON

Referências

- Coutinho, M., Passos, I., Vásquez, J. C. G., Sarkar, S., de Mendonça, F. L., de Sousa Jr, R. T., and Borges, F. (2023). **Latin dances reloaded: Improved cryptanalysis against salsa and chacha, and the proposal of forró.** *Journal of Cryptology*, 36(3):18.
- Peterson, L., Cascone, C., and Davie, B. (2021). **Software-Defined Networks: A Systems Approach.** *Systems Approach LLC.*
- Yoshinaka, Y., Takemasa, J., Koizumi, Y., and Hasegawa, T. (2022). **On implementing chacha on a programmable switch.** In *Proceedings of the 5th International Workshop on P4 in Europe*, pages 15–18.

Referências

- Coutinho, M., Passos, I., and Borges, F. (2023a). **The design and implementation of xforró14-poly1305: a new authenticated encryption scheme.** In *Anais do XXIII Simpósio Brasileiro de Segurança da Informação e de Sistemas Computacionais*, pages 456–469, Porto Alegre, RS, Brasil. SBC.
- Chen, X. (2020). **Implementing aes encryption on programmable switches via scrambled lookup tables.** In *Proceedings of the Workshop on Secure Programmable Network Infrastructure*, pages 8–14.

Obrigado!

- Rodrigo Alexander
de Andrade Pierini
- rpierini@unicamp.br



Backup

- Cifração em plano de dados programável tem alto impacto de desempenho e recursos
 - AES [Chen, 2020];
 - ChaCha20 [Yoshinaka *et al*, 2022]



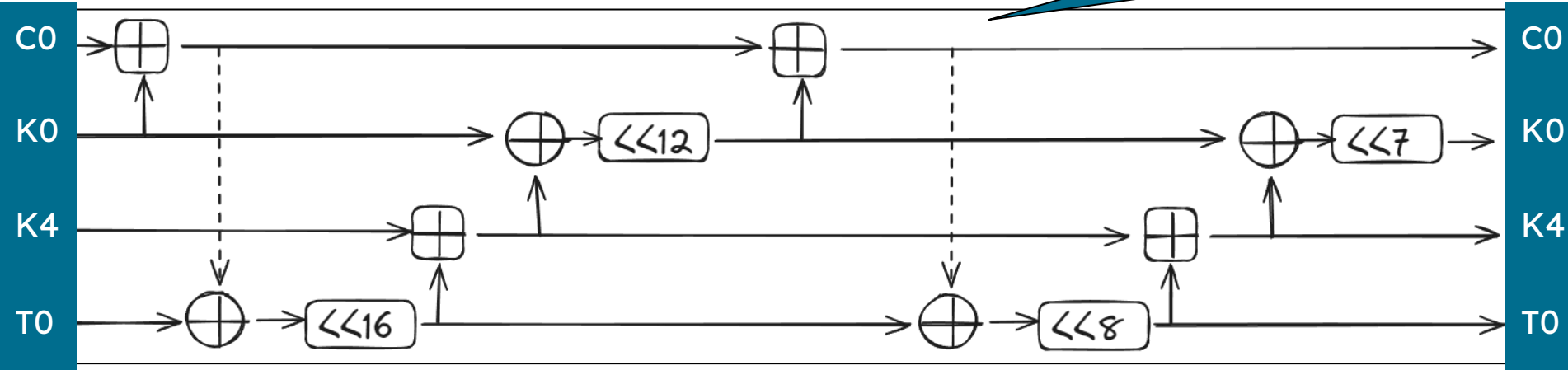
Por que esse
algoritmo?

Backup

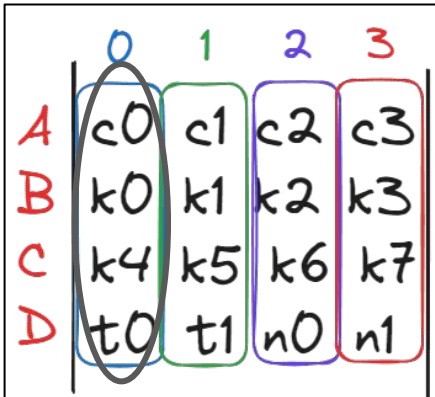
- Cifração em plano de dados programável tem alto impacto de desempenho e recursos
 - AES [Chen, 2020];
 - ChaCha20 [Yoshinaka *et al*, 2022]
 - Usado no TLS1.3
 - Usado como DRNG no Kernel Linux

Backup

1º Quarter-Round (QR0)



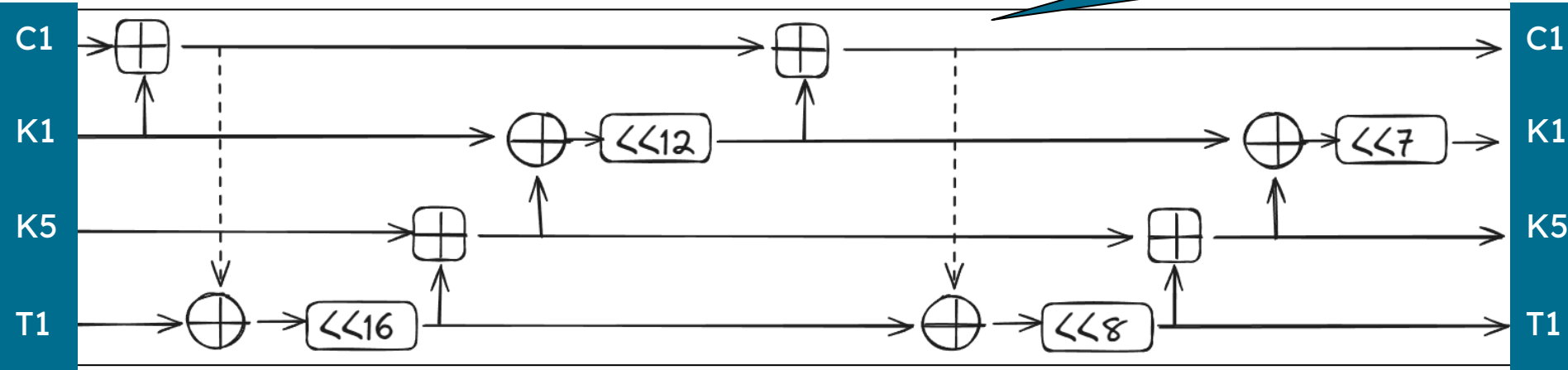
- \oplus adição mod 2^{32}
- \oplus bitwise XOR
- $\ll N$ Rotação circular à esquerda



c = constante
 k = chave
 t = contador
 n = nonce

Backup

2º Quarter-Round (QR1)



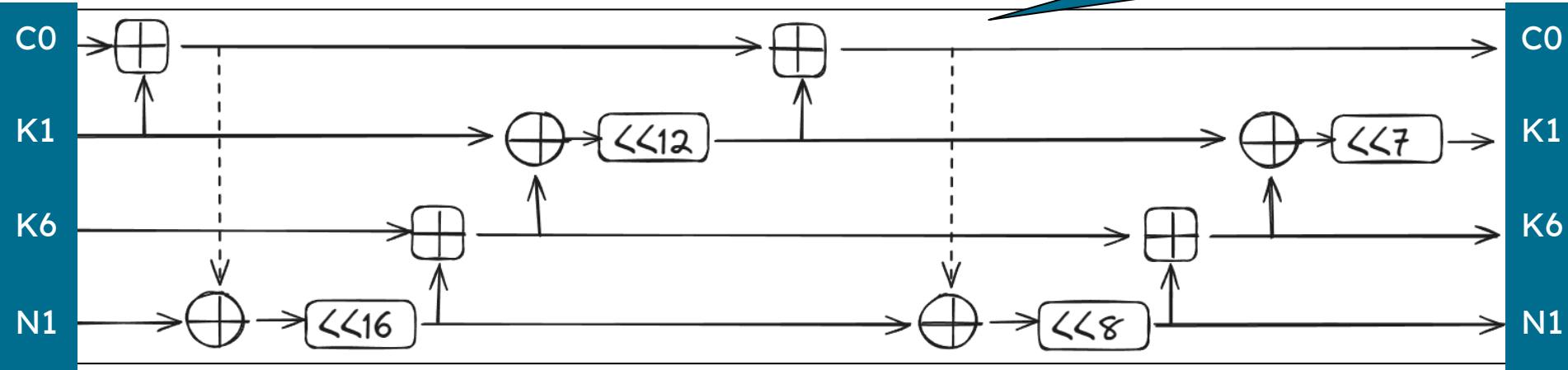
- \oplus adição mod 2^{32}
- \oplus bitwise XOR
- $\ll N$ Rotação circular à esquerda

	0	1	2	3
A	c0	c1	c2	c3
B	k0	k1	k2	k3
C	k4	k5	k6	k7
D	t0	t1	n0	n1

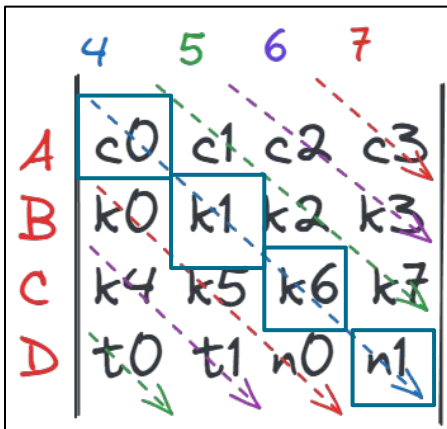
c = constante
k = chave
t = contador
n = nonce

Backup

5º Quarter-Round (QR4)



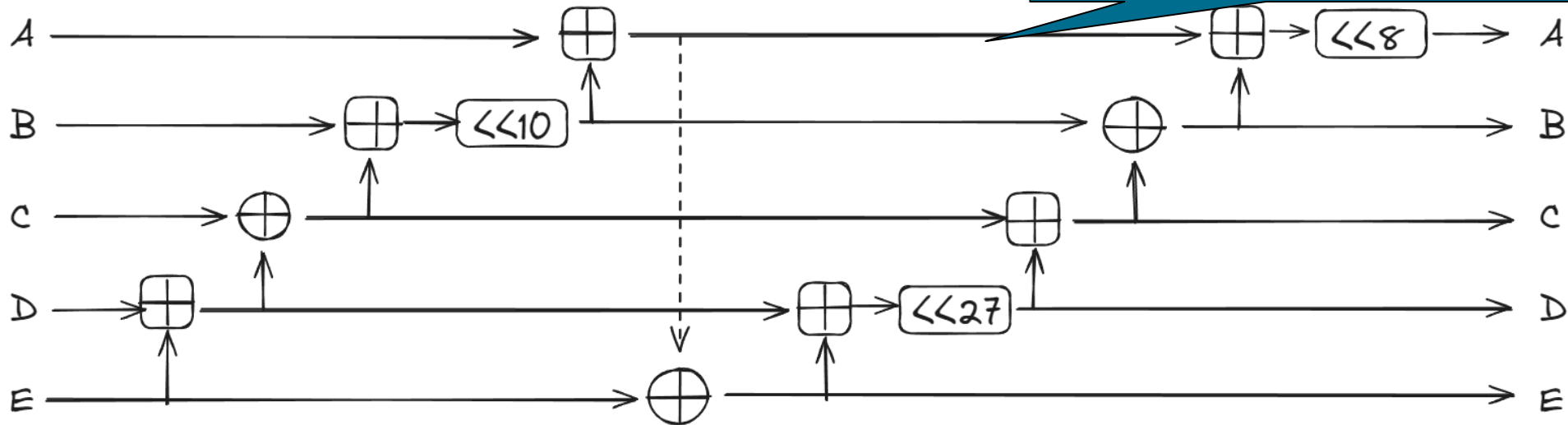
- \oplus adição mod 2^{32}
- \oplus bitwise XOR
- $\ll N$ Rotação circular à esquerda



c = constante
 k = chave
 t = contador
 n = nonce

Backup

Quarter-Round Function (QR)



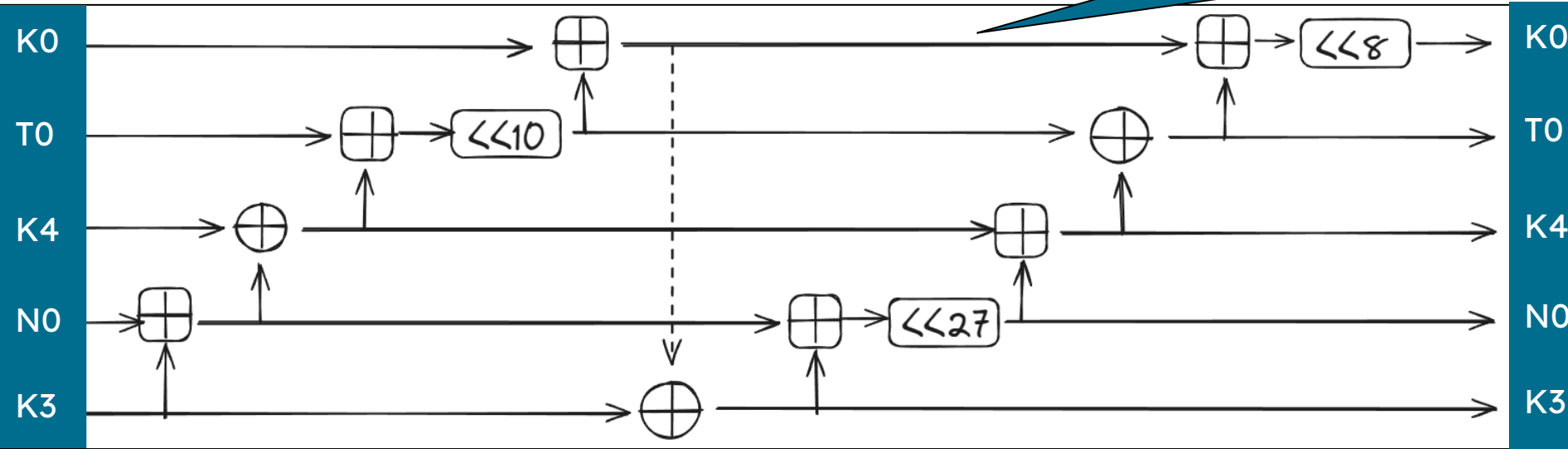
- \oplus adição mod 2^{32}
- \oplus bitwise XOR
- $\ll N$ Rotação circular à esquerda

	0	1	2	3
A	k0	k1	k2	k3
B	t0	t1	c0	c1
C	k4	k5	k6	k7
D	n0	n1	c2	c3

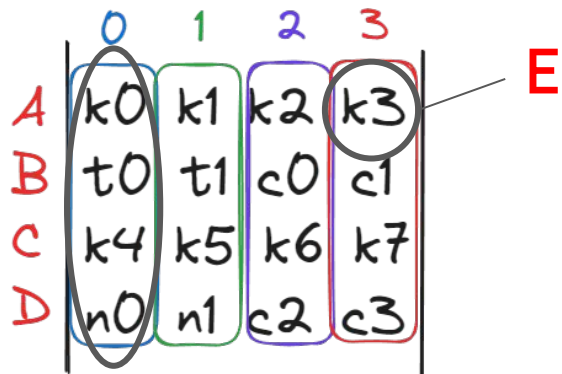
c = constante
k = chave
t = contador
n = nonce

Backup

1º Quarter-Round (QR0)



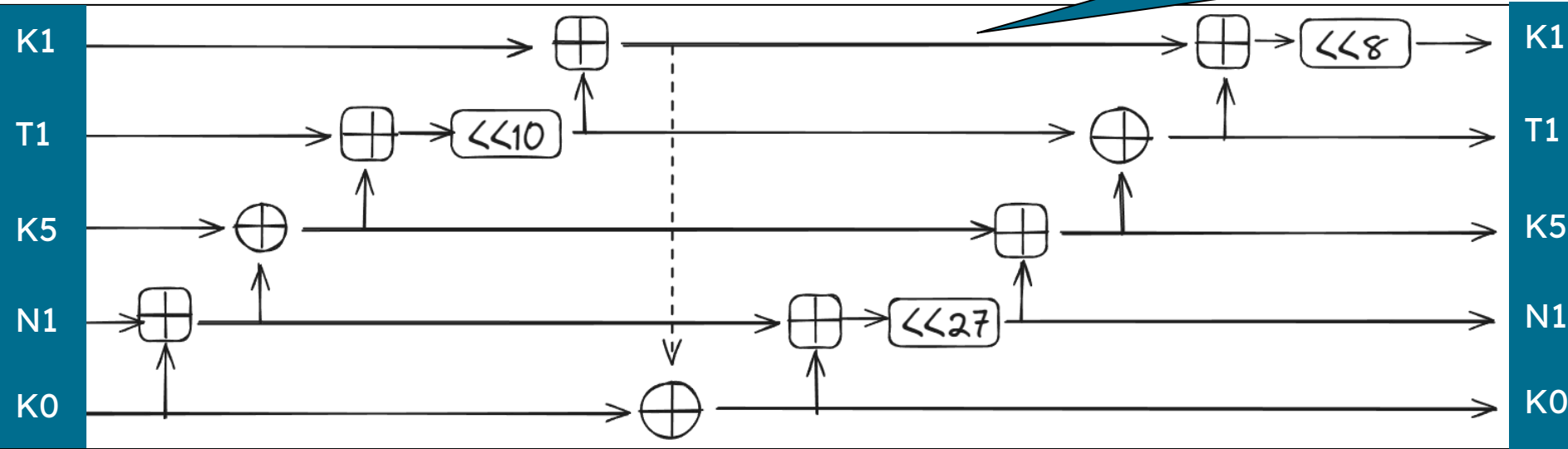
\oplus adição mod 2^{32}
 \oplus bitwise XOR
 $\ll N$ Rotação circular à esquerda



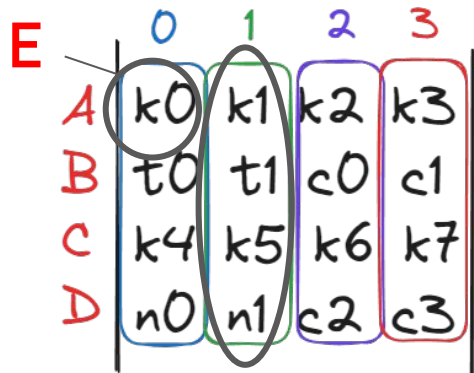
c = constante
k = chave
t = contador
n = nonce

Backup

2º Quarter-Round (QR1)

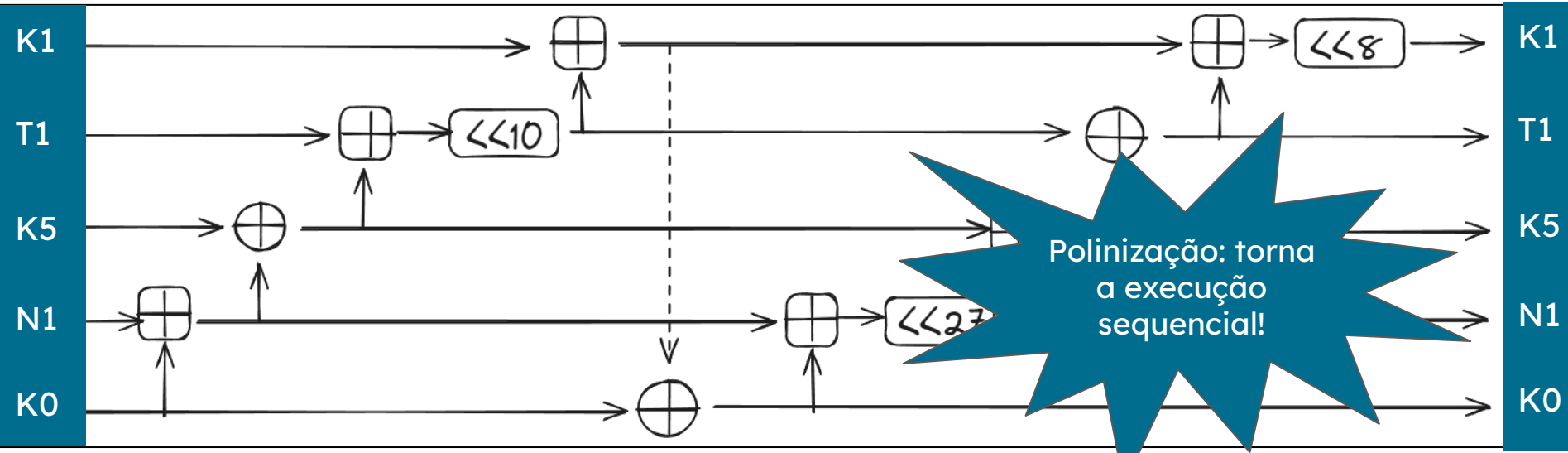


- \oplus adição mod 2^{32}
- \oplus bitwise XOR
- $\ll N$ Rotação circular à esquerda

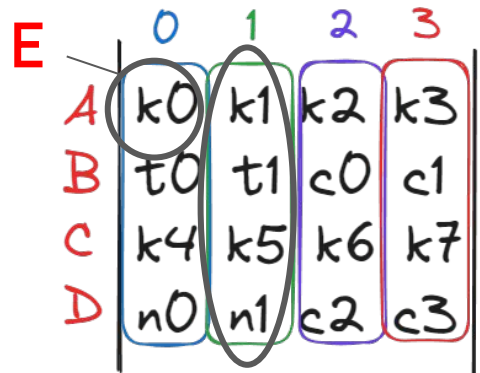


c = constante
 k = chave
 t = contador
 n = nonce

Backup

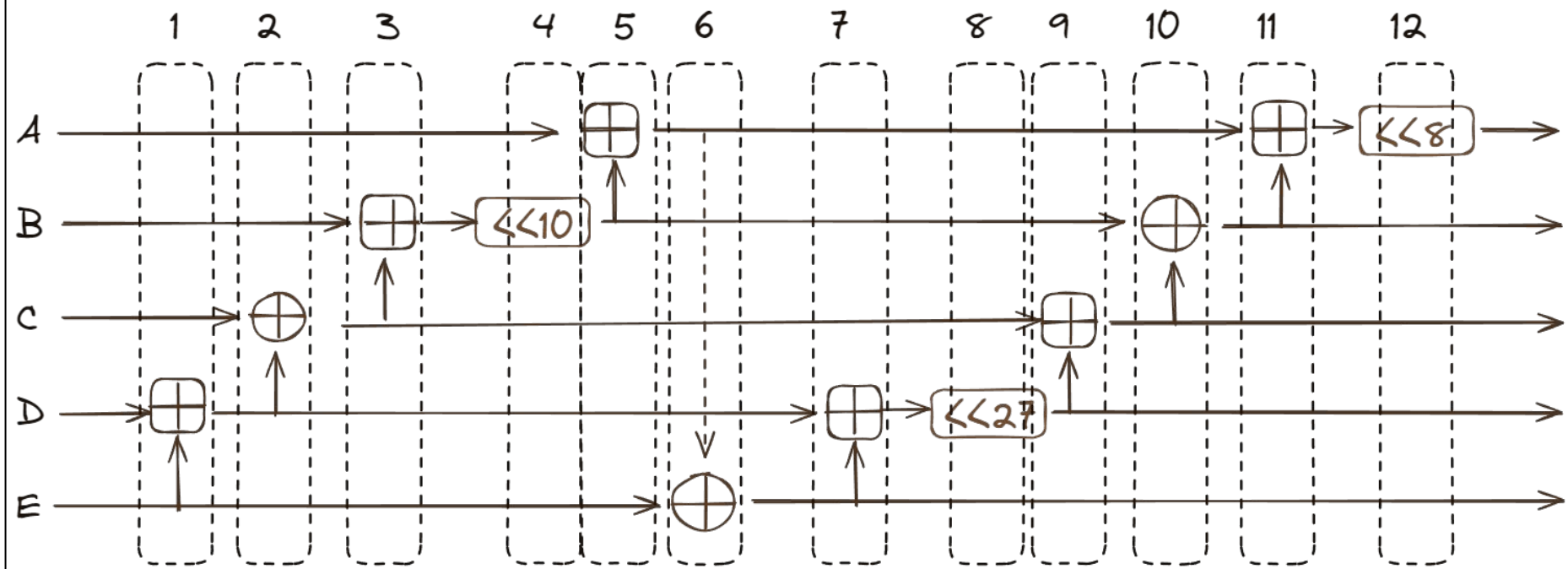


\oplus adição mod 2^{32}
 $\oplus\ominus$ bitwise XOR
 $\ll N$ Rotação circular à esquerda



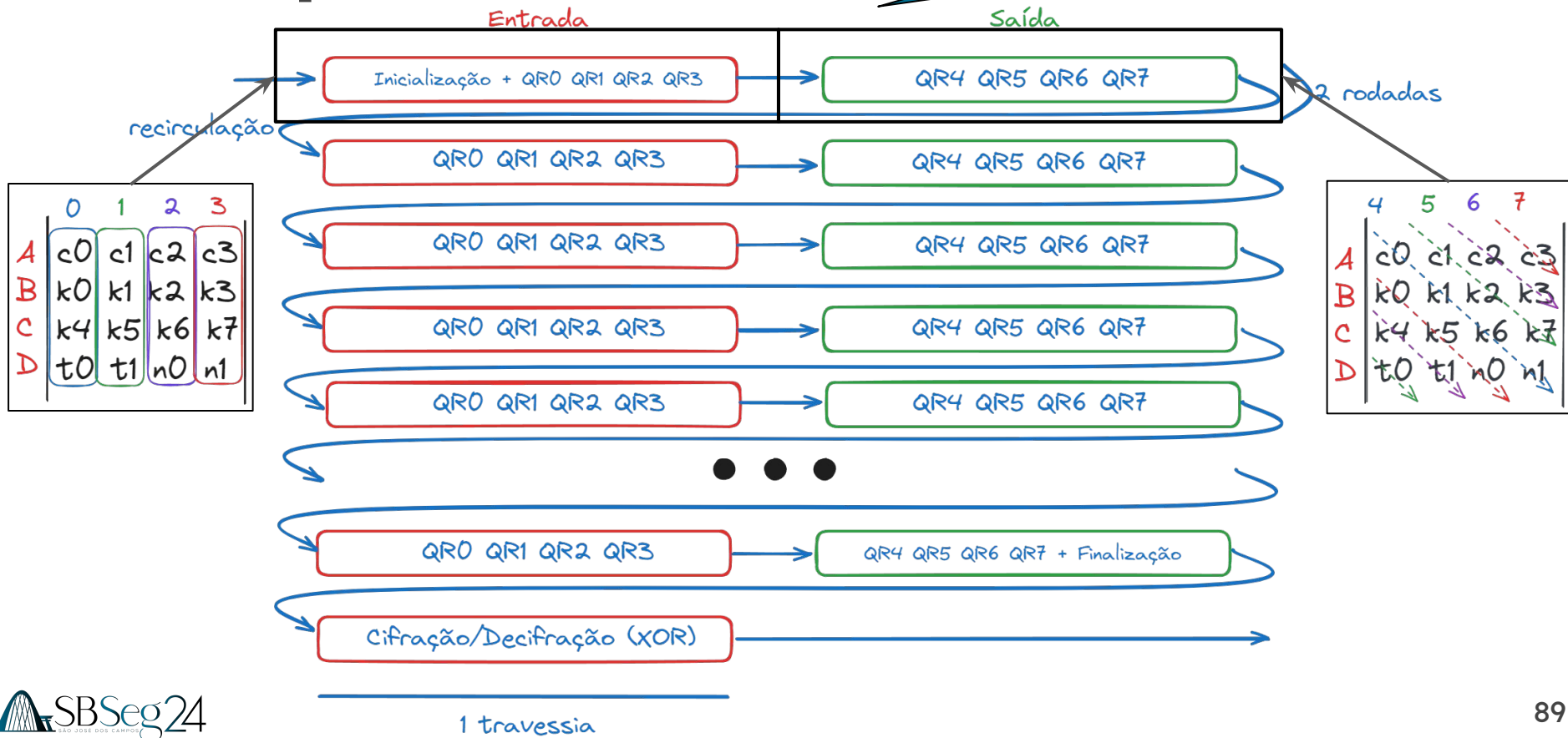
c = constante
k = chave
t = contador
n = nonce

Backup

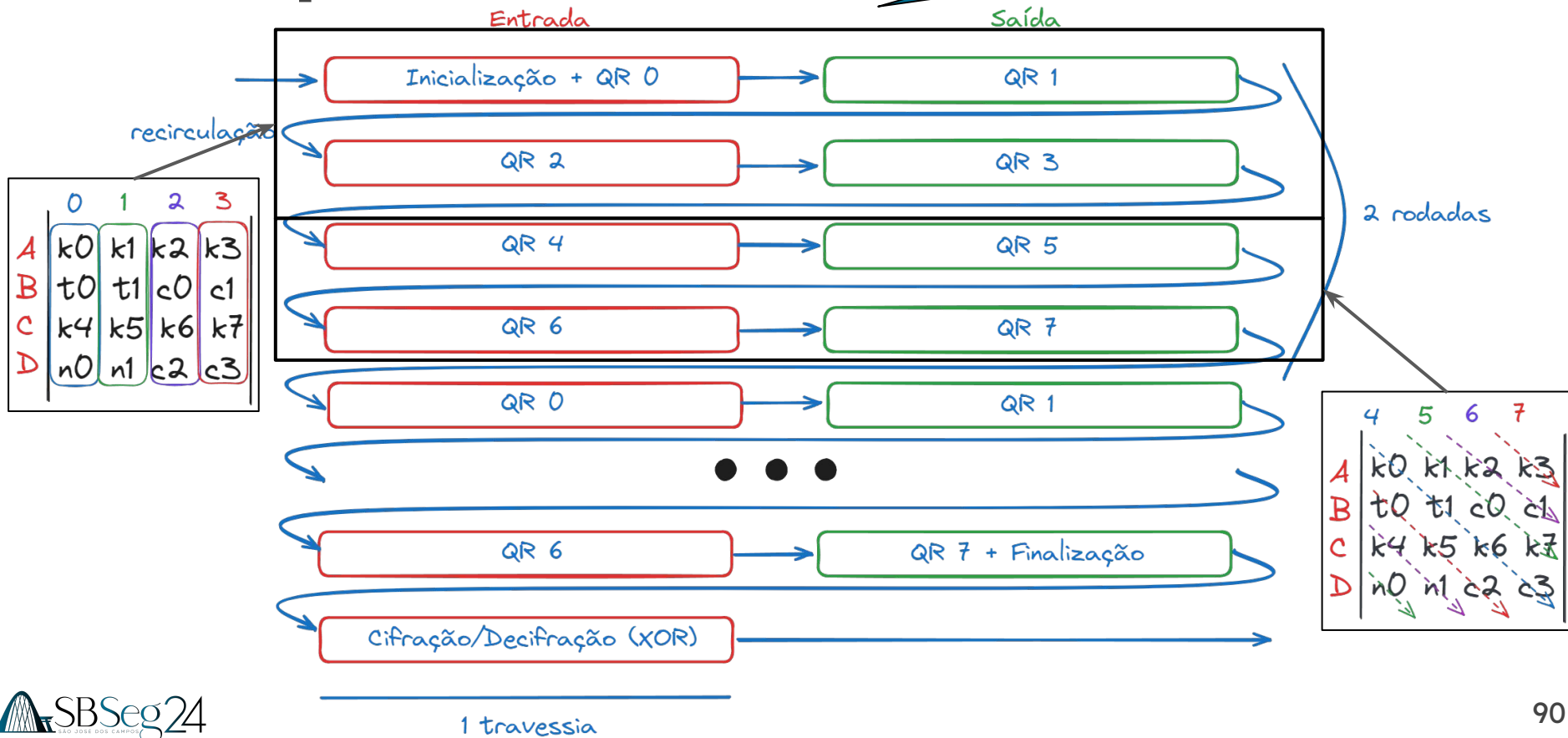


Divisão dos QRs em 12 estágios

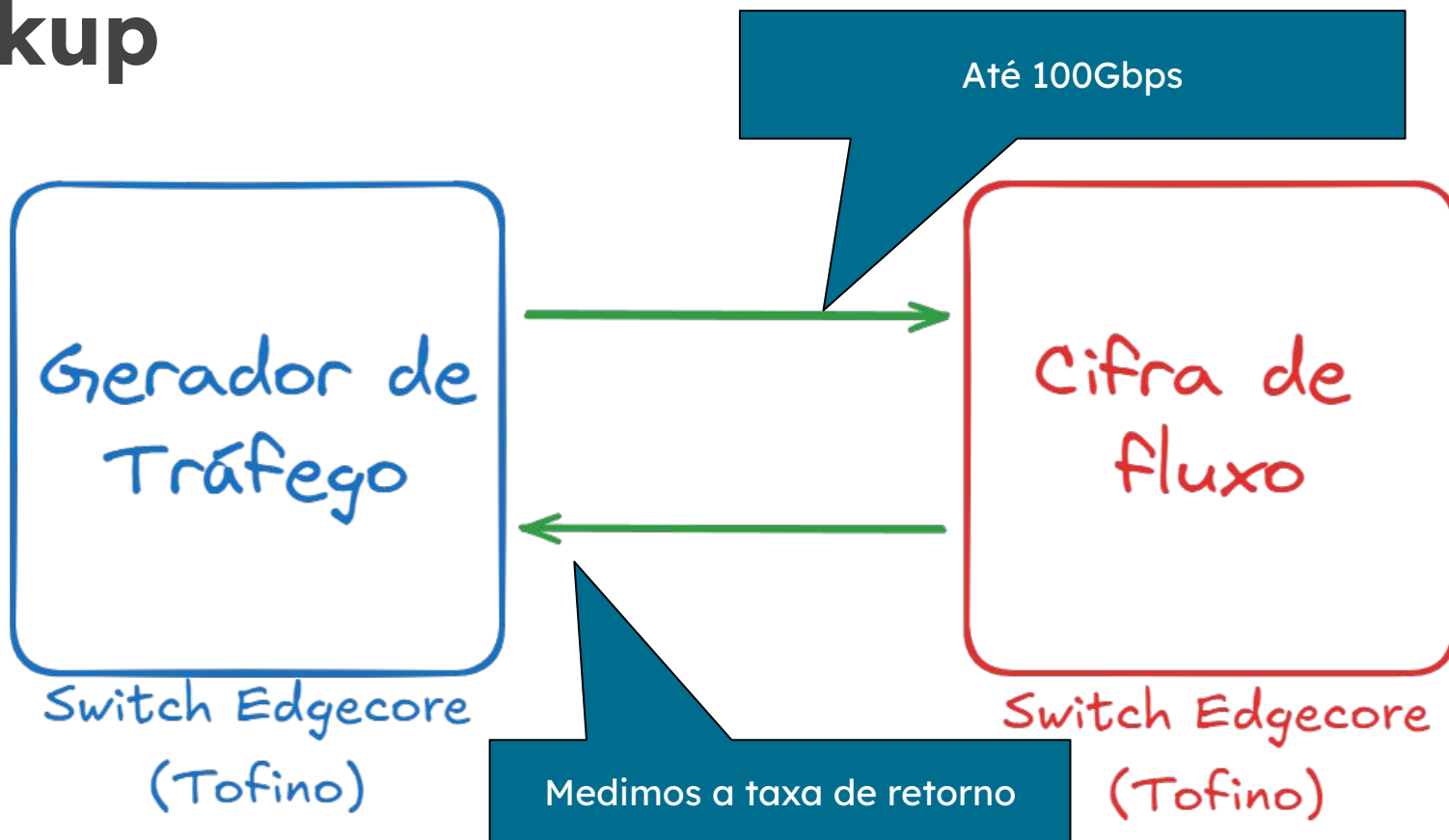
Backup



Backup

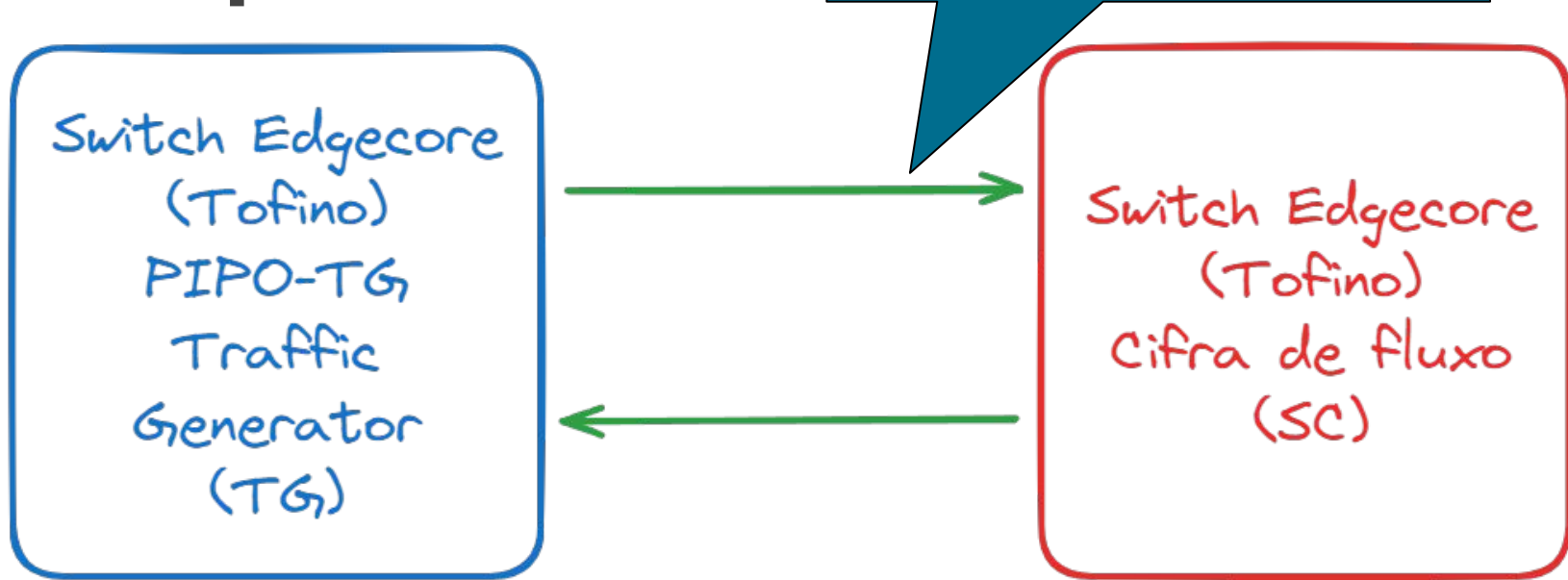


Backup



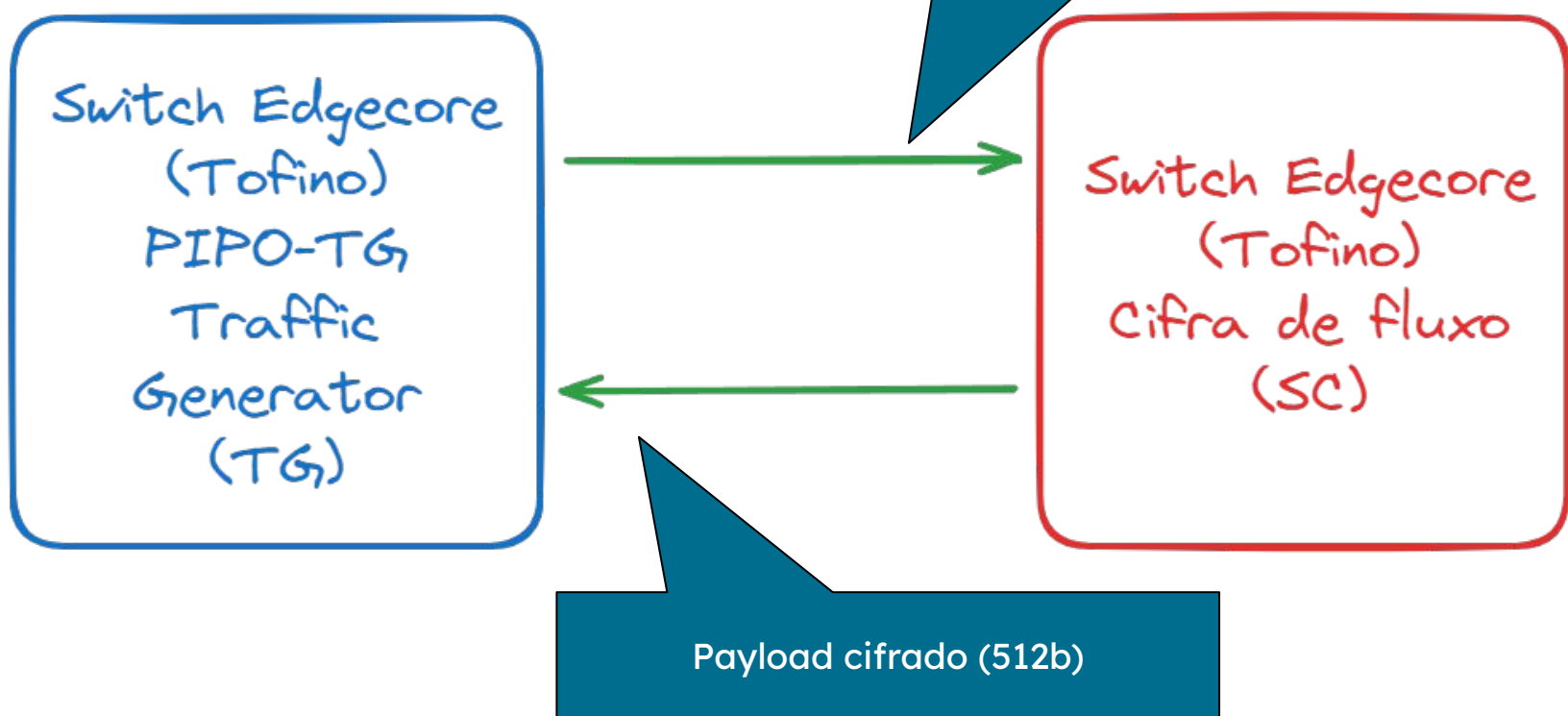
Testbed utilizado

Backup



Testbed utilizado

Backup



Backup

Algoritmo	Taxa de entrada											
	1Gbps	2Gbps	3Gbps	4Gbps	5Gbps	6Gbps	7Gbps	8Gbps	9Gbps	10Gbps	11Gbps	12Gbps
Forro14	1019	2038	3055	4076	5093	6110	7127	8152	9161	10186	9678	8701
ChaCha20 (Seq)	1019	2038	3055	4076	5093	6110	7127	6418	5581	4932	4310	3893
ChaCha20 (Par)	961	1922	2881	3844	4803	5763	6722	7689	8640	9607	10559	11523
Algoritmo	Taxa de entrada											
	13Gbps	14Gbps	15Gbps	16Gbps	17Gbps	18Gbps	19Gbps	20Gbps	25Gbps	40Gbps	50Gbps	100Gbps
Forro14	7904	7184	6520	5994	6083	5349	5388	4842	3594	1313	912	46
ChaCha20 (Seq)	3606	3145	2747	2233	2787	2336	2009	1860	1163	268	155	2,6
ChaCha20 (Par)	12477	13442	14410	13511	12901	12109	11565	11013	6971	2862	2789	476

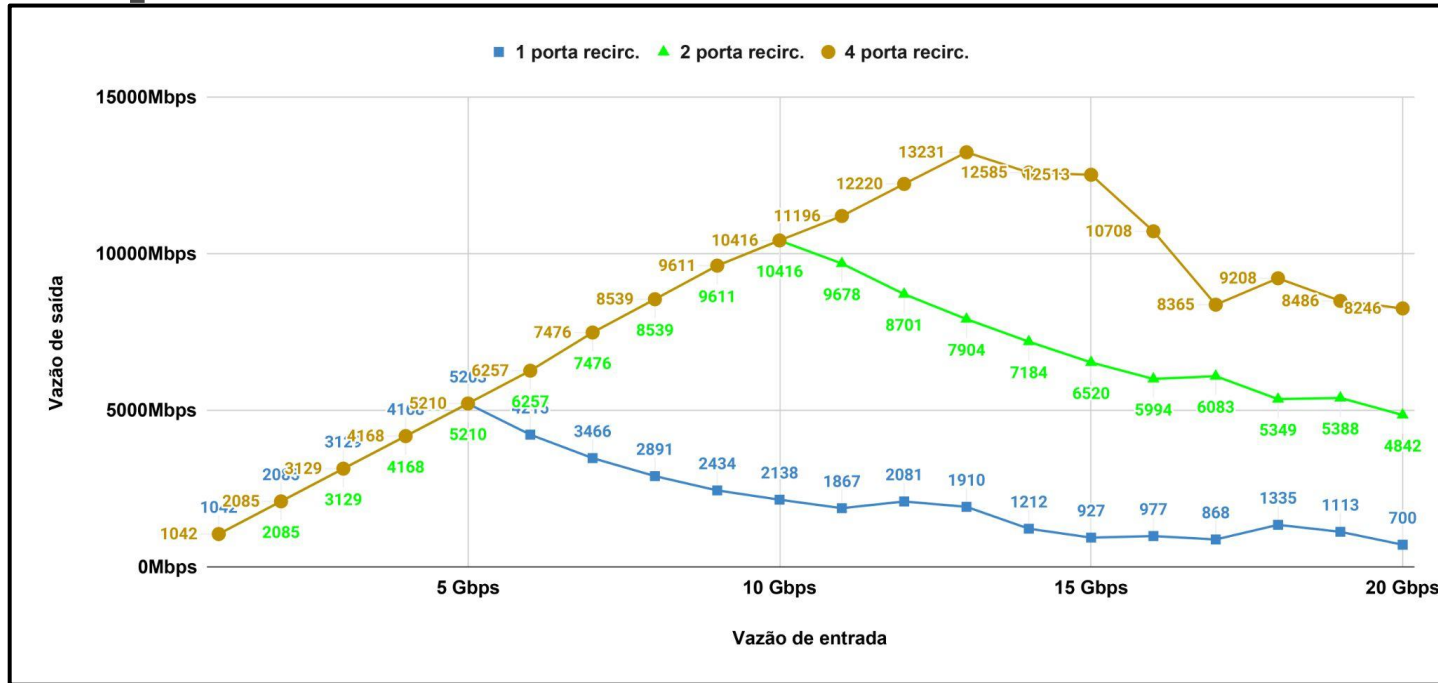
Vazão alcançada em Mbps
(Quanto mais, melhor)

Backup

Componente	ChaCha20 (Par)	Forro14	ChaCha20 (Seq)
ADBB	9,4%	3,6%	2,6%
EMRB	9,9%	12,5%	12,5%
EMSB	9,4%	12,5%	12,5%
GW	9,4%	0,0%	0,0%
HASHB	4,0%	5,4%	5,4%
HASHD	16,7%	2,8%	2,8%
LT-ID	12,5%	12,5%	12,5%
SRAM	1,4%	2,9%	2,7%
STASH	0,5%	12,5%	12,5%
TCAM	1,7%	0,0%	0,0%
TRB	9,4%	0,0%	0,0%
VLIW	4,7%	10,2%	10,2%
EMIX	2,8%	1,8%	1,8%
TMIX	2,1%	0,0%	0,0%
PHV	34,9%	43,1%	43,1%

Ocupação de recursos do *switch*

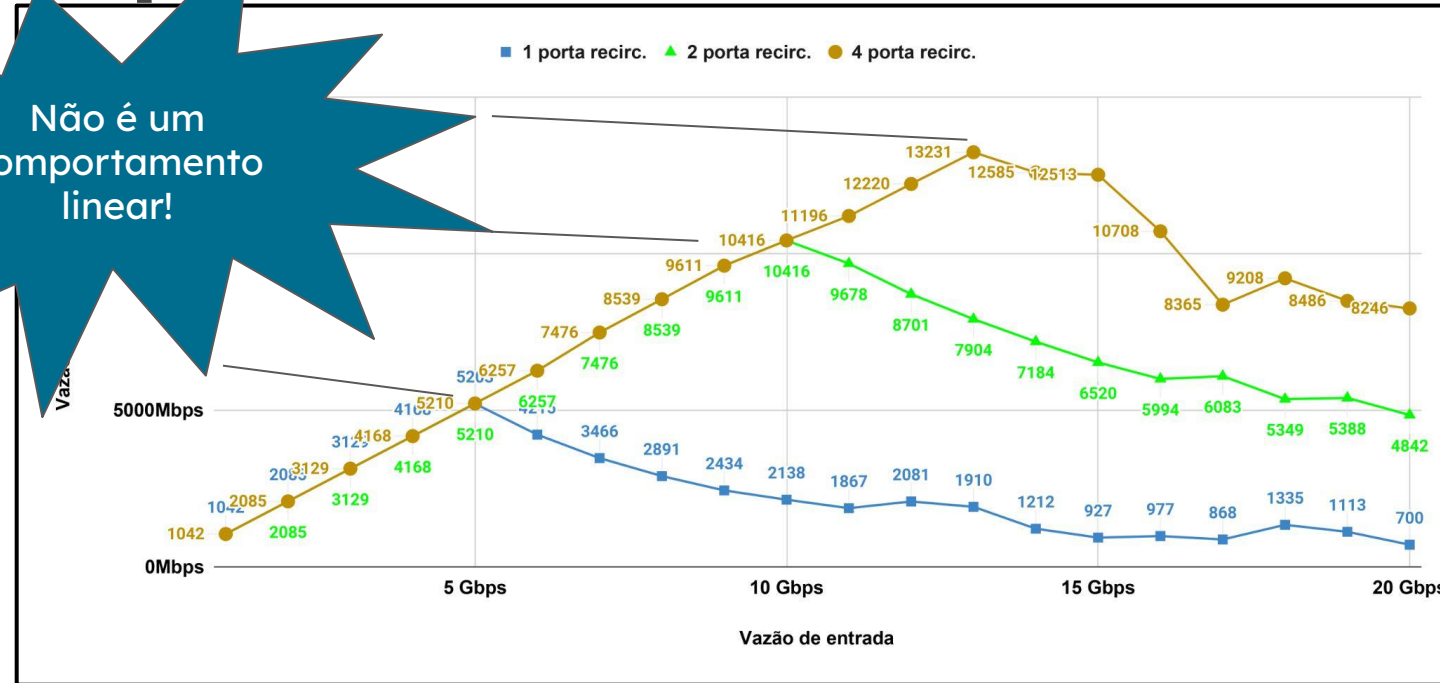
Backup



Vazão do Forro14 utilizando diferentes qtdes de portas para recirculação

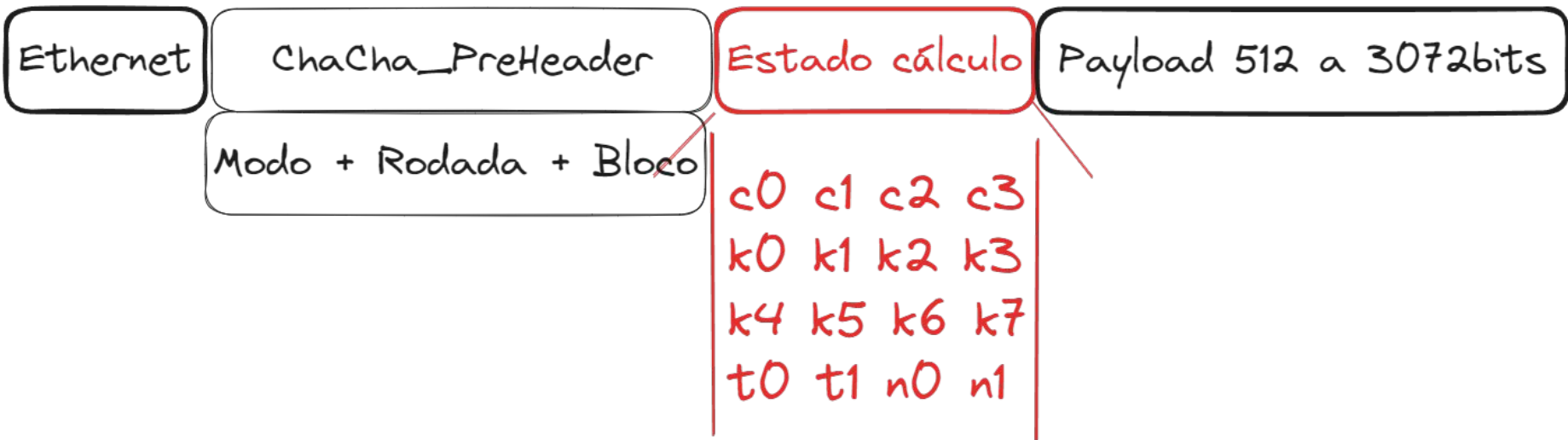
Backup

Não é um
comportamento
linear!

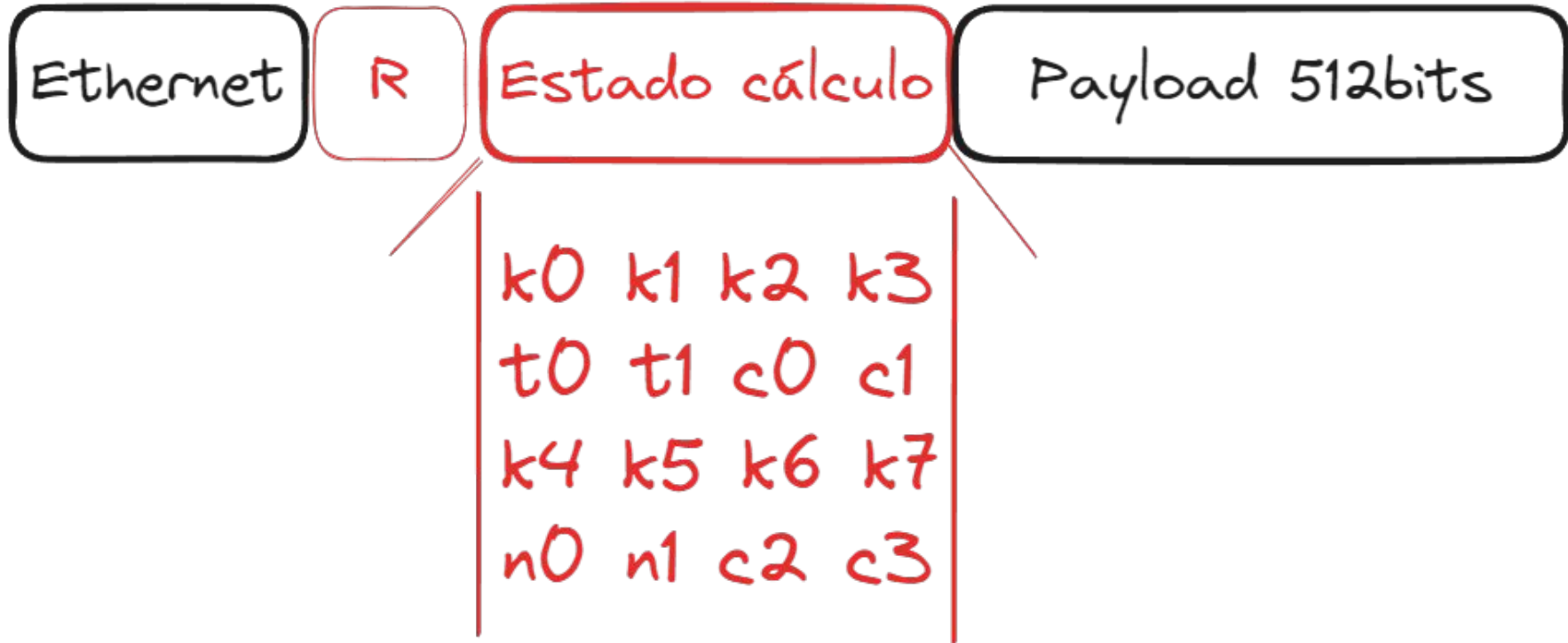


Vazão do Forro14 utilizando diferentes qtdes de portas para recirculação

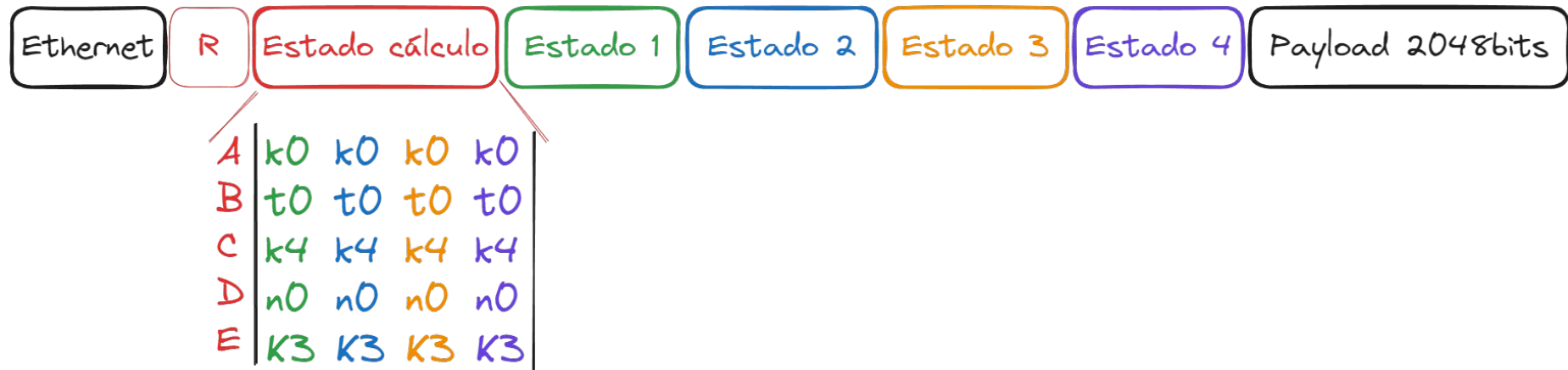
Backup



Backup



Backup



Backup

Forro

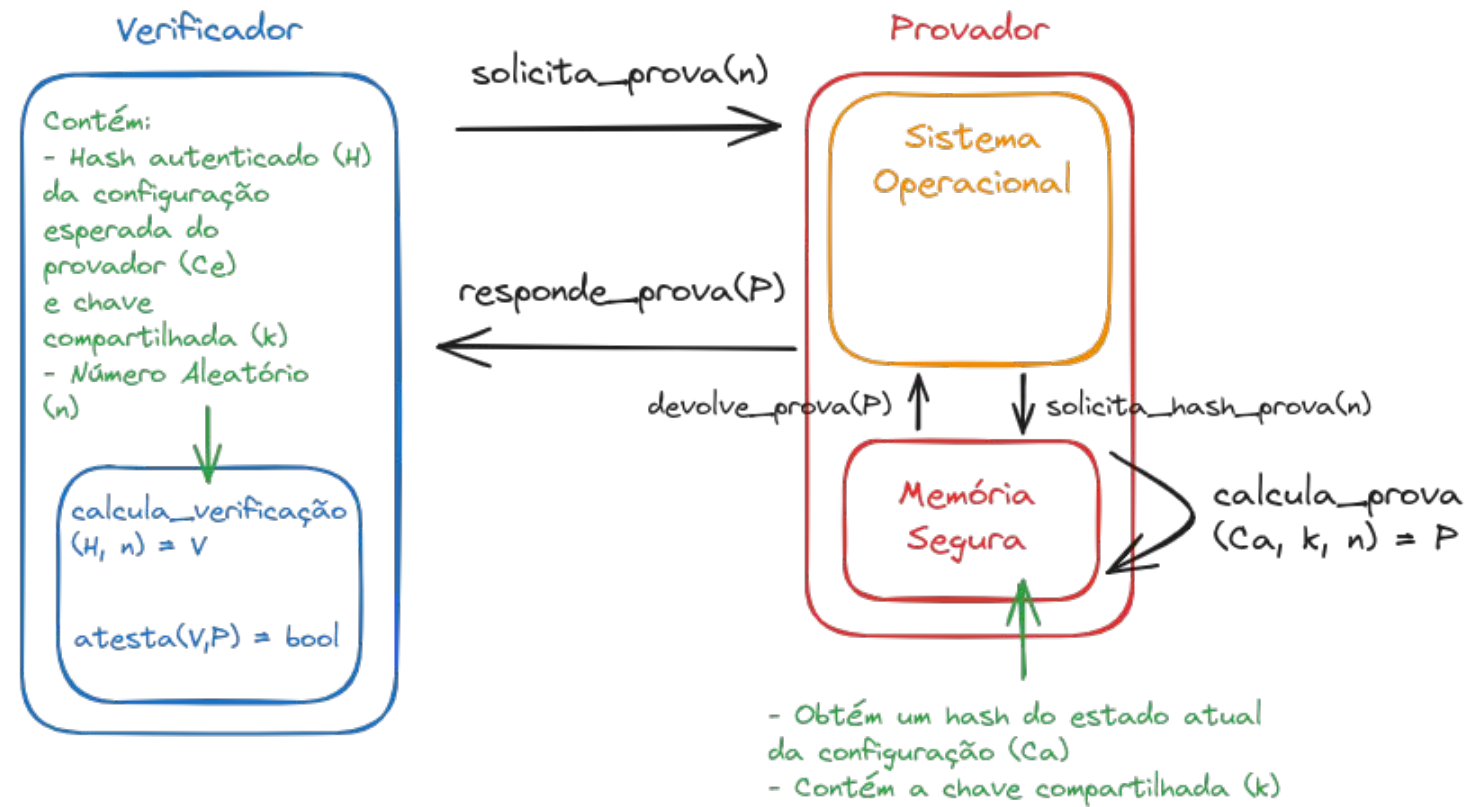
k0	k1	k2	k3
t0	t1	c0	c1
k4	k5	k6	k7
n0	n1	c2	c3

k = chave (256 bits)
 t = contador (64 bits)
 c = constantes (128 bits)
 n = nonce (64 bits)

ChaCha

c0	c1	c2	c3
k0	k1	k2	k3
k4	k5	k6	k7
t0	t1	n0	n1

Backup



Backup

```
action i0_cipher () {
    hdr.forro_payload.linha0 = hdr.forro_payload.linha0 ^ hdr.forro_cipher.linha0;
    hdr.forro_payload.linha1 = hdr.forro_payload.linha1 ^ hdr.forro_cipher.linha1;
    hdr.forro_payload.linha2 = hdr.forro_payload.linha2 ^ hdr.forro_cipher.linha2;
    hdr.forro_payload.linha3 = hdr.forro_payload.linha3 ^ hdr.forro_cipher.linha3;

    // Definindo porta de saída e pulando Egress
    ig_tm_md.icast_egress_port = 0x1;
    ig_tm_md.bypass_egress = 0x1;

    // Limpando cabeçalhos de rodada e estado para saída
    hdr.forro_rodada.setInvalid();
    hdr.forro_cipher.setInvalid();
    exit;
}
```

Backup

```
action i0_init(
    hashword_t key0, hashword_t key1, hashword_t key2, hashword_t key3,
    hashword_t key4, hashword_t key5, hashword_t key6, hashword_t key7,
    hashword_t n0_k3, hashword_t n1)
{
    hdr.forro_rodada.setValid();
    hdr.forro_state.setValid();

    hdr.forro_state.v0 = key0;
    hdr.forro_state.v1 = key1;
    hdr.forro_state.v2 = key2;
    hdr.forro_state.v3 = key3;
    hdr.forro_state.v4 = 0x0;
    hdr.forro_state.v5 = 0x0;
    hdr.forro_state.v6 = H0;
    hdr.forro_state.v7 = H1;
    hdr.forro_state.v8 = key4;
    hdr.forro_state.v9 = key5;
    hdr.forro_state.v10 = key6;
    hdr.forro_state.v11 = key7;
    hdr.forro_state.v12 = n0_k3; // adiantando passo 1 do qr0
    hdr.forro_state.v13 = n1;
    hdr.forro_state.v14 = H2;
    hdr.forro_state.v15 = H3;

    //incrementando uma rodada
    hdr.forro_rodada.rodada = 1;

    //Alterando etheretype para o tipo do Forro14
    // hdr.ethernet.ether_type = 0xABCD;
}
```

Backup

```
action i0_init(
    hashword_t key0, hashword_t key1, hashword_t key2, hashword_t key3,
    hashword_t key4, hashword_t key5, hashword_t key6, hashword_t key7,
    hashword_t n0_k3, hashword_t n1)
{
    hdr.forro_rodada.setValid();
    hdr.forro_state.setValid();

    hdr.forro_state.v0 = key0;
    hdr.forro_state.v1 = key1;
    hdr.forro_state.v2 = key2;
    hdr.forro_state.v3 = key3;
    hdr.forro_state.v4 = 0x0;
    hdr.forro_state.v5 = 0x0;
    hdr.forro_state.v6 = H0;
    hdr.forro_state.v7 = H1;
    hdr.forro_state.v8 = key4;
    hdr.forro_state.v9 = key5;
    hdr.forro_state.v10 = key6;
    hdr.forro_state.v11 = key7;
    hdr.forro_state.v12 = n0_k3; // adiantando passo 1 do qr0
    hdr.forro_state.v13 = n1;
    hdr.forro_state.v14 = H2;
    hdr.forro_state.v15 = H3;

    //incrementando uma rodada
    hdr.forro_rodada.rodada = 1;

    //Alterando etheretype para o tipo do Forro14
    //  hdr.ethernet.ether_type = 0xABCD;
}
```

Backup

```
action e11_qr7_fin(in hashword_t key0, in hashword_t key1, in hashword_t key2, in hashword_t key3,
    in hashword_t key4, in hashword_t key5, in hashword_t key6, in hashword_t key7,
    in hashword_t n0, in hashword_t n1)
{
    hdr.forro_state.v0 = hdr.forro_state.v0 + key0;
    hdr.forro_state.v1 = hdr.forro_state.v1 + key1;
    hdr.forro_state.v2 = hdr.forro_state.v2 + key2;
    hdr.forro_state.v3 = copy32_0.get(hdr.forro_state.v3[23:0] ++ hdr.forro_state.v3[31:24]) + meta.key3; //Shift + Add
    hdr.forro_state.v4 = hdr.forro_state.v4 + 0x0;
    hdr.forro_state.v5 = hdr.forro_state.v5 + 0x0;
    hdr.forro_state.v6 = hdr.forro_state.v6 + C0;
    hdr.forro_state.v7 = hdr.forro_state.v7 + C1;
    hdr.forro_state.v8 = hdr.forro_state.v8 + key4;
    hdr.forro_state.v9 = hdr.forro_state.v9 + key5;
    hdr.forro_state.v10 = hdr.forro_state.v10 + key6;
    hdr.forro_state.v11 = hdr.forro_state.v11 + key7;
    hdr.forro_state.v12 = hdr.forro_state.v12 + n0;
    hdr.forro_state.v13 = hdr.forro_state.v13 + n1;
    hdr.forro_state.v14 = hdr.forro_state.v14 + C2;
    hdr.forro_state.v15 = hdr.forro_state.v15 + C3;

    hdr.forro_rodada.rodada = hdr.forro_rodada.rodada + 1;
}
```

Backup

```
Hash<bit<32>>(HashAlgorithm_t.IDENTITY) copy32_0;
```

```
hdr.forro_state.v3 = copy32_0.get(hdr.forro_state.v3[23:0] ++ hdr.forro_state.v3[31:24]) + meta.key3; //Shift + Add
```

Backup

```
header forro_state_t {  
    hashword_t v0; //k0  
    hashword_t v1; //k1  
    hashword_t v2; //k2  
    hashword_t v3; //k3  
    hashword_t v4; //t0  
    hashword_t v5; //t1  
    hashword_t v6; //c0  
    hashword_t v7; //c1  
    hashword_t v8; //k4  
    hashword_t v9; //k5  
    hashword_t v10; //k6  
    hashword_t v11; //k7  
    hashword_t v12; //v0  
    hashword_t v13; //v1  
    hashword_t v14; //c2  
    hashword_t v15; //c3  
}
```

```
header forro_state_cipher_t {  
    bit<128> linha0;  
    bit<128> linha1;  
    bit<128> linha2;  
    bit<128> linha3;  
}  
  
header forro_payload_t {  
    bit<128> linha0;  
    bit<128> linha1;  
    bit<128> linha2;  
    bit<128> linha3;  
}
```

Backup

```
p4.Ingress.tbl_forro_ig0.add_with_i0_init(rodada=0)
```

```
p4.Ingress.tbl_forro_ig0.add_with_i0_qr0(rodada=1)
```

```
p4.Ingress.tbl_forro_ig1.add_with_i1_qr0(rodada=1)
```

```
p4.Ingress.tbl_forro_ig2.add_with_i2_qr0(rodada=1)
```

```
p4.Ingress.tbl_forro_ig3.add_with_i3_qr0(rodada=1)
```

```
p4.Ingress.tbl_forro_ig4.add_with_i4_qr0(rodada=1)
```

```
p4.Ingress.tbl_forro_ig5.add_with_i5_qr0(rodada=1)
```

```
p4.Ingress.tbl_forro_ig6.add_with_i6_qr0(rodada=1)
```

```
p4.Ingress.tbl_forro_ig7.add_with_i7_qr0(rodada=1)
```

```
p4.Ingress.tbl_forro_ig8.add_with_i8_qr0(rodada=1)
```

```
p4.Ingress.tbl_forro_ig9.add_with_i9_qr0(rodada=1)
```

```
p4.Ingress.tbl_forro_ig10.add_with_i10_qr0(rodada=1)
```

```
p4.Ingress.tbl_forro_ig11.add_with_i11_qr0(rodada=1)
```

```
p4.Egress.tbl_forro_eg0.add_with_e0_qr1(rodada=2)
```

```
p4.Egress.tbl_forro_eg1.add_with_e1_qr1(rodada=2)
```

```
p4.Egress.tbl_forro_eg2.add_with_e2_qr1(rodada=2)
```

```
p4.Egress.tbl_forro_eg3.add_with_e3_qr1(rodada=2)
```

```
p4.Egress.tbl_forro_eg4.add_with_e4_qr1(rodada=2)
```

```
p4.Egress.tbl_forro_eg5.add_with_e5_qr1(rodada=2)
```

```
p4.Egress.tbl_forro_eg6.add_with_e6_qr1(rodada=2)
```

```
p4.Egress.tbl_forro_eg7.add_with_e7_qr1(rodada=2)
```

```
p4.Egress.tbl_forro_eg8.add_with_e8_qr1(rodada=2)
```

```
p4.Egress.tbl_forro_eg9.add_with_e9_qr1(rodada=2)
```

```
p4.Egress.tbl_forro_eg10.add_with_e10_qr1(rodada=2)
```

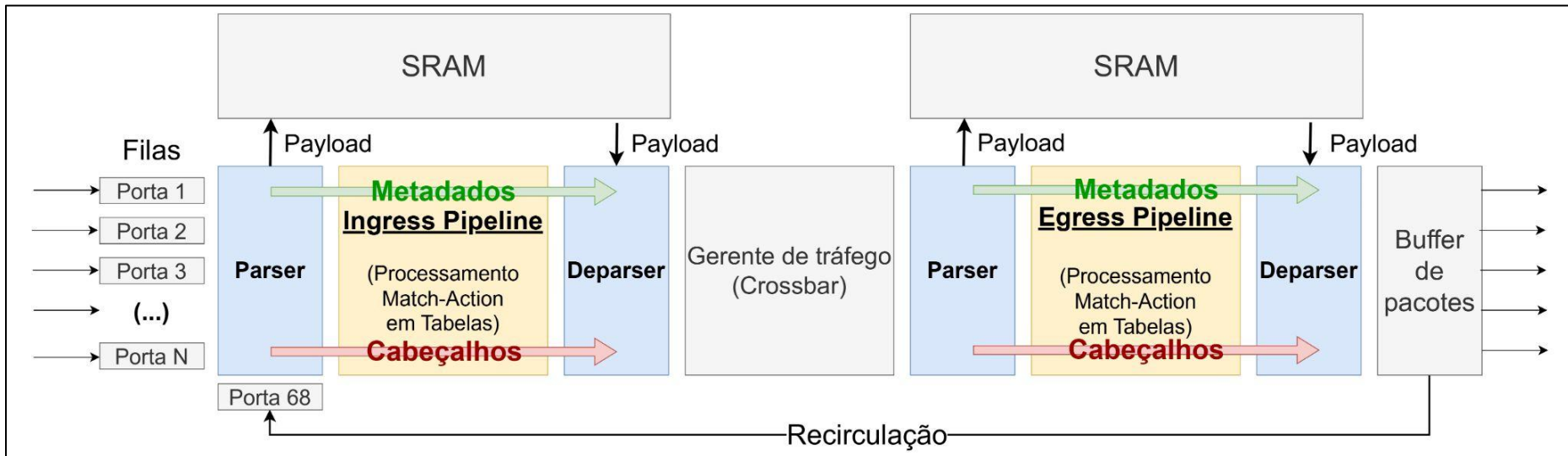
```
p4.Egress.tbl_forro_eg11.add_with_e11_qr1(rodada=2)
```

Backup

```
private bool IsEven(int number){  
    if (number == 1) return false;  
    else if (number == 2) return true;  
    else if (number == 3) return false;  
    else if (number == 4) return true;  
    else if (number == 5) return false;  
    else if (number == 6) return true;  
    else if (number == 7) return false;  
    else if (number == 8) return true;  
    else if (number == 9) return false;  
    else if (number == 10) return true;  
    else if (number == 11) return false;  
    else if (number == 12) return true;  
    else if (number == 13) return false;  
    else if (number == 14) return true;  
    else if (number == 15) return false;  
    else if (number == 16) return true;  
    else if (number == 17) return false;  
    else if (number == 18) return true;  
    else if (number == 19) return false;  
    else if (number == 20) return true;  
    else if (number == 21) return false;  
    else if (number == 22) return true.  
    .  
    .  
    .
```

IT WORKS!

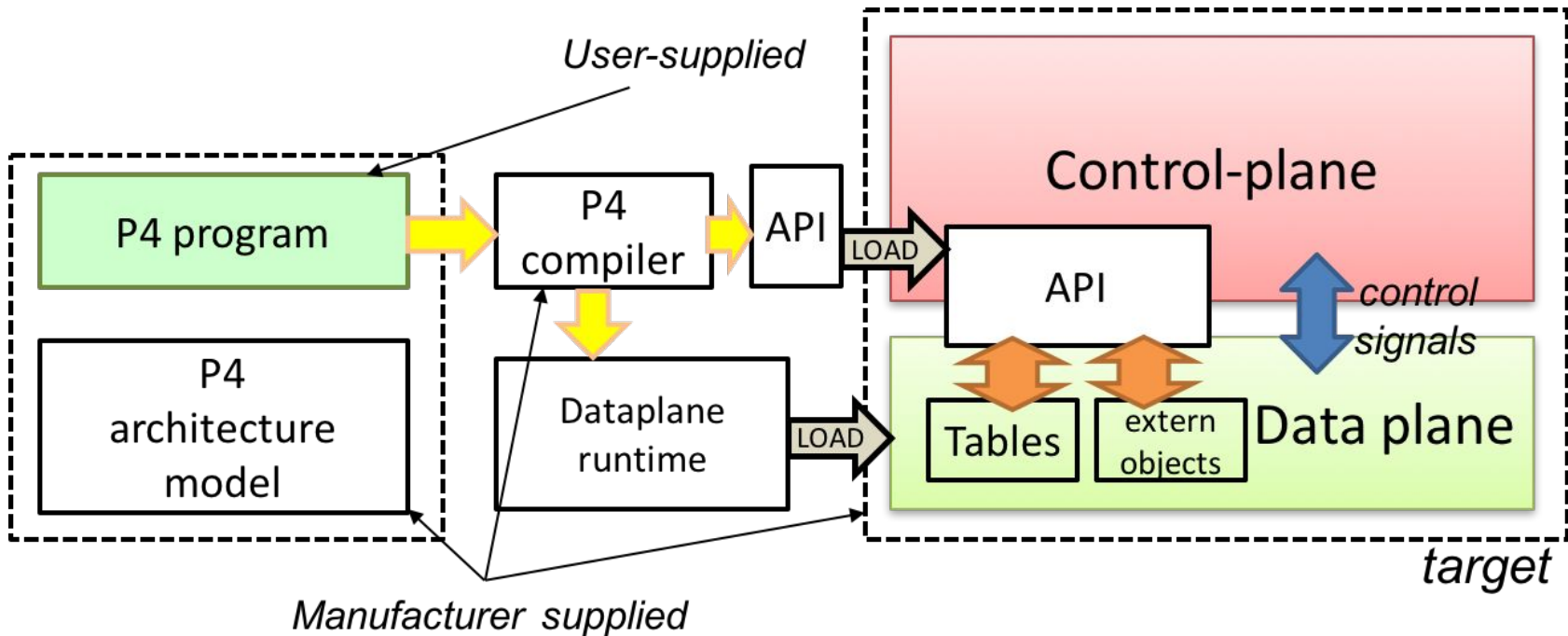
Backup



**Arquitetura referência de um switch
programável com P4**

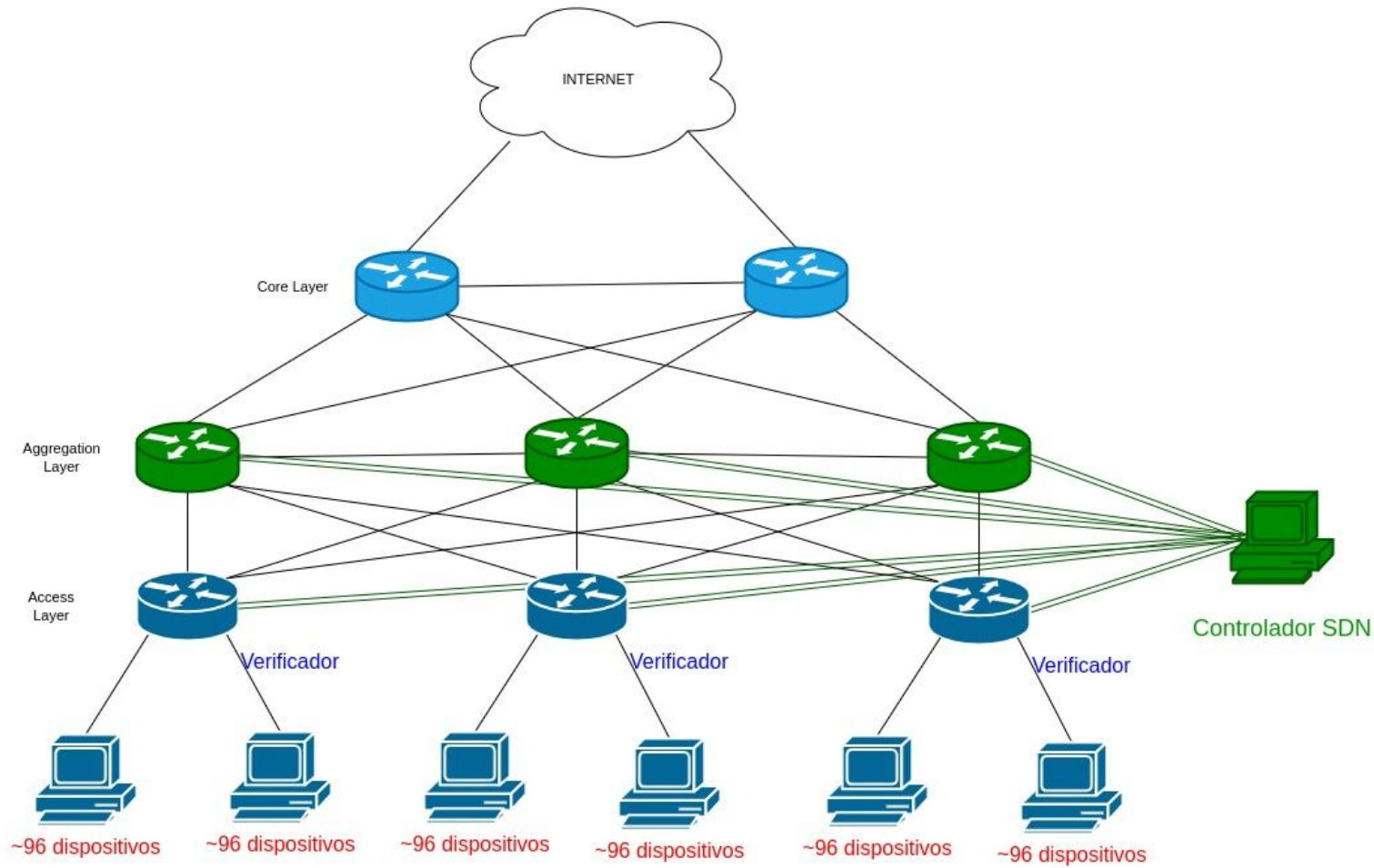
Fonte da imagem: Adaptada de Peterson, L., Cascone, C., and Davie, B. (2021). *Software-Defined Networks: A Systems Approach*.

Backup

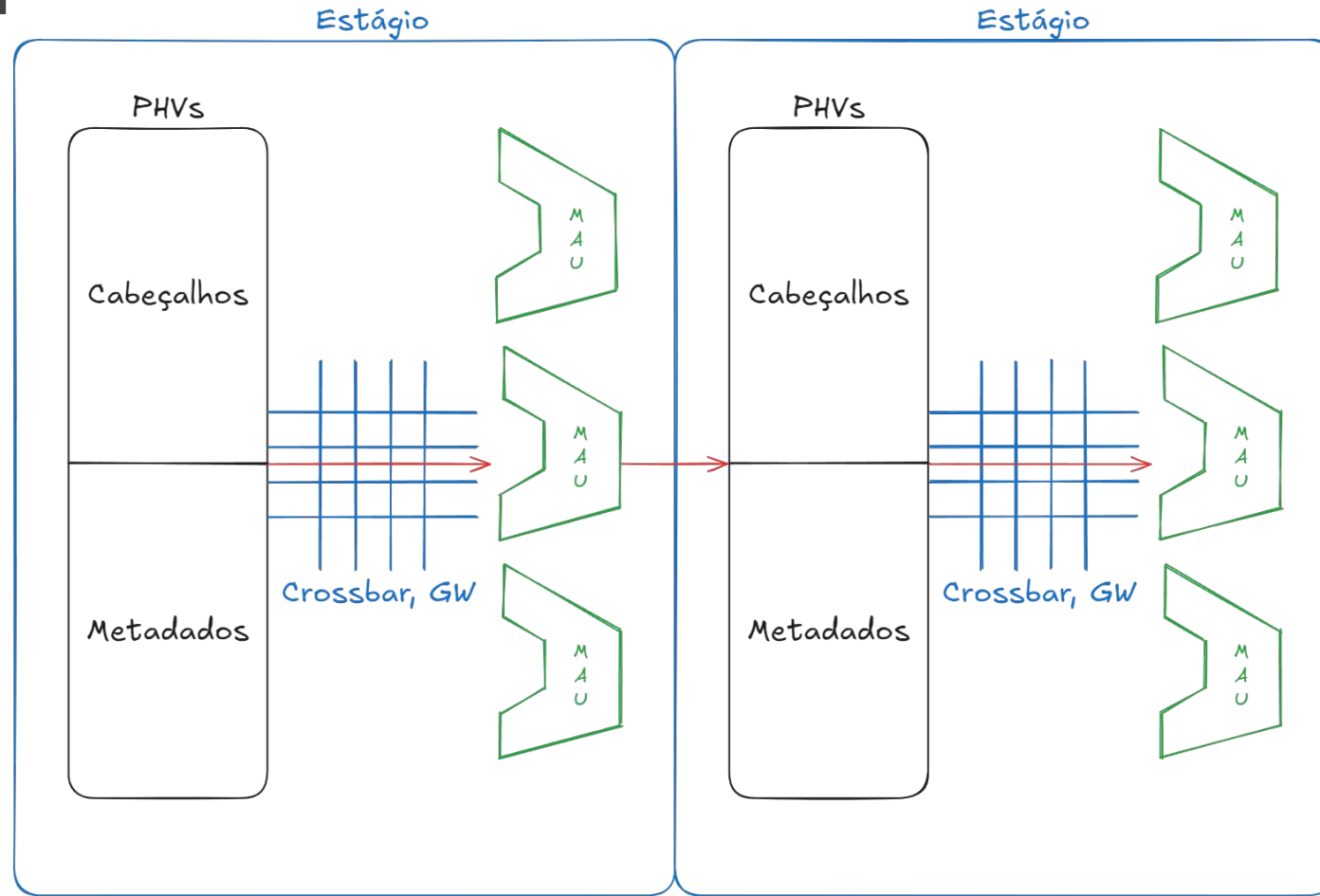


Fonte: <https://p4.org/p4-spec/docs/P4-16-v1.0.0-spec.html>

Backup

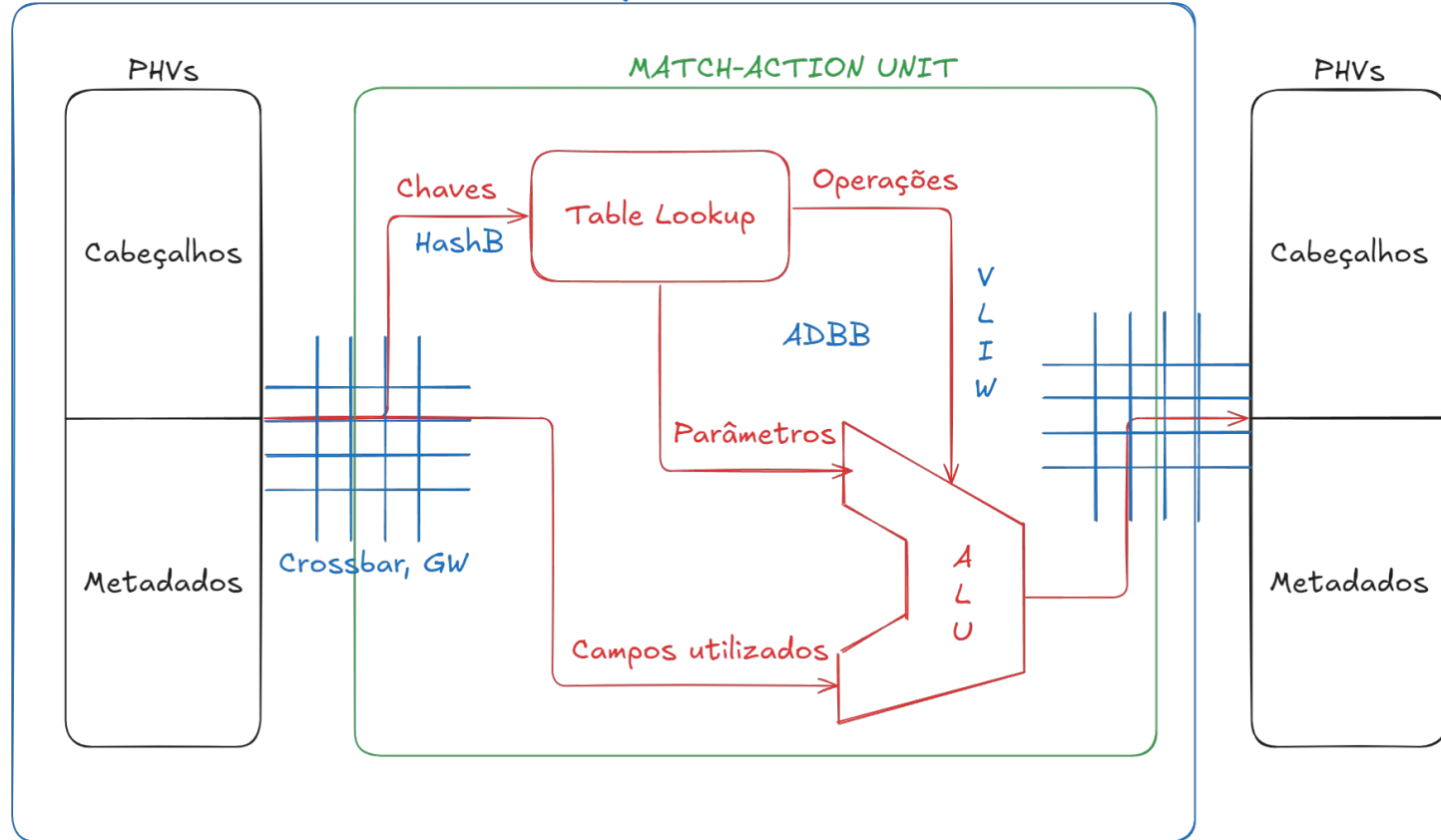


Backup



Backup

Estágio



Backup

